

# ЭКСИТОННЫЕ И БИЭКСИТОННЫЕ НЕЛИНЕЙНОСТИ В КОГЕРЕНТНОМ ЧЕТЫРЕХВОЛНОВОМ СМЕШЕНИИ В ПОЛУПРОВОДНИКОВЫХ КВАНТОВЫХ ЯМАХ

*Хоанг Нгок Кам\**

*Отделение оптики, Физический институт им. П. Н. Лебедева Российской академии наук  
119991, Москва, Россия*

*Институт физики и электроники Вьетнамской академии науки и технологий  
Ханой, Вьетнам*

Поступила в редакцию 10 февраля 2005 г.

Представлено описание двухпарных корреляций в электрон-дырочной системе в возбуждаемых лазером прямозонных полупроводниках методом экситон-бозонного формализма. Учет зависимости состояний квазичастиц от ориентации их углового момента проведен должным образом по теоретико-групповым правилам. На примере системы экситонов тяжелых дырок в квантовых ямах GaAs показано, что кулоновские двухэкситонные корреляции включают эффективное отталкивание между экситонами с отличным от нуля значением суммарного момента и эффективное притяжение между экситонами с нулевым суммарным моментом. Они генерируют соответственно экситонные и биэкситонные нелинейности в экситон-биэкситонной системе. Выведенные гейзенберговские уравнения движения применены к изучению четырехволнового смешения в когерентном режиме. Выяснено, что две компоненты кулоновских двухэкситонных корреляций генерируют когерентное четырехволновое смешение соответственно при социркулярной и перпендикулярно-линейной поляризациях приложенных импульсов и совместно при параллельно-линейной поляризации. Получены общие выражения для амплитуды сигналов четырехволнового смешения с временным разрешением в этих поляризационных конфигурациях, которые в пределе ультракоротких импульсов сводятся к аналитическим функциям времени и параметров возбуждения и образца. С их помощью проанализированы характеристики сигналов в каждой поляризационной конфигурации. Результаты анализа дают адекватную картину биэкситонных эффектов и поляризационной зависимости когерентного четырехволнового смешения в квантовых ямах GaAs.

PACS: 73.21.Fg, 71.35.Cc, 72.25.Fe

## 1. ВВЕДЕНИЕ

Появление субпикосекундных лазеров дало толчок бурному развитию сверхбыстрой полупроводниковой спектроскопии. Наличие световых импульсов длительностью меньше времени фазовой релаксации среды позволяет не только обнаружить в полупроводниках когерентные эффекты, известные в атомных системах, но, что более важно, получить информацию о ранних стадиях временного развития системы электронных элементарных возбуждений. Большую актуальность приобрели исследования когерентных процессов в спектральной обла-

сти вблизи, но ниже фундаментального края, где нелинейно-оптический отклик полупроводника определяется многочастичными корреляциями в системе когерентных экситонов. Временная эволюция этой системы может прямо зондироваться методом когерентного четырехволнового смешения (ЧВС) [1], признанным в настоящее время самым мощным и в то же время гибким методом экспериментального изучения когерентных процессов в полупроводниках. Надлежащее понимание микроскопического механизма сверхбыстрых явлений важно как с фундаментальной, так и с технологической точки зрения в связи с их потенциальными применениями в электронике и оптоэлектронике.

В то время как в нелинейно-спектроскопических

\*E-mail: hoang@sci.lebedev.ru, hoang\_ngoccam@yahoo.com

экспериментальных исследованиях используются поляризованные лазерные импульсы для накачки и зондирования электронных состояний с различными ориентациями углового момента, интерпретация и анализ наблюдаемых явлений главным образом основывались на численном решении уравнений Блоха для полупроводников (УБП) [2]. Несмотря на определенные успехи при объяснении некоторого количества экспериментальных наблюдений [3], эти уравнения, установленные в рамках приближения Хартри–Фока (ПХФ), не могут описывать поляризационной зависимости [4–7] и биэкситонных эффектов [8–11] в слабонелинейном режиме (третьего порядка по полю). Например, по результату решений УБП сигналы ЧВС, полученные при перпендикулярно-линейной и параллельно-линейной поляризациях импульсов, должны быть идентичными при иных одинаковых экспериментальных условиях [12]. Экспериментально же обнаружено, что в квантовых ямах GaAs сигнал при перпендикулярно-линейной поляризации на порядок слабее по интенсивности [4] и с явно выраженными квантовыми биениями [8]. В течение последнего десятилетия огромные усилия были направлены на выяснение механизма этого различия. Параллельно с полуфеноменологическими методами [5, 6, 10, 11] были использованы различные техники для теоретического описания эффектов двухпарных корреляций [13–16]. Однако учет угловых моментов квазичастиц (включая их проекции на избранную ось квантования) остается не систематизированным, что приводит к серьезным трудностям при рассмотрении микроскопического механизма поляризационной зависимости нелинейно-оптических эффектов.

В настоящей работе предлагается теоретическое описание эффектов двухпарных корреляций в рамках экситон-бозонного формализма. Подход заключается в том, что произвольное состояние полупроводника, возбуждаемого в спектральной области вблизи экситонного резонанса, представляется в виде разложения по экситонным состояниям, которые в линейном режиме являются его квазибозонными квазисобственными состояниями [17]. При взаимодействии экситона с квазирезонансным полем излучения правило отбора выражается тождеством углового момента (спина) фотона и экситона. Для заданной зонной структуры классификация экситонных состояний по значениям экситонного спина и его проекции на ось квантования проводится по теоретико-групповым правилам. Таким образом, включение в рассмотрение угловых моментов квазичастиц, без которого невозможно описание поляризационной за-

висимости и биэкситонных эффектов, сводится к выполнению хотя громоздких, но определенных алгебраических процедур. Начало экситон-бозонному формализму положил Ханамура [18], который пользовался преобразованием Усуи [19] для разложения исходного фотон-электрон-дырочного гамильтониана в бозонном пространстве в ряд по степеням плотности заполнения. С тех пор бозонизация Ханамуры–Усуи не один раз повторялась [20–22], в последнее время уже для квазидвумерных систем [23]. В разд. 2 данной работы она проводится со строгим учетом зависимости состояний квазичастиц от ориентации их углового момента [24]. Бозонное представление исходного гамильтониана получается в форме бесконечного ряда по степеням экситонной плотности заполнения, в котором каждый  $i$ -й член описывает  $i$ -парные корреляции. В рассматриваемом слабонелинейном режиме ряд прерывается на втором члене, ответственном за оптические нелинейности третьего порядка. Общий гамильтониан экситонной системы разрабатывается для прямозонных полупроводников с  $s$ -подобной зоной проводимости и  $p$ -подобной валентной зоной. Имеются в виду полупроводники как объемные, так и квазидвумерные в форме квантовых ям, размер которых в направлении оси роста порядка или меньше эффективного размера экситона. Поскольку протяженность последнего обычно превышает постоянную решетки в десятки–сотни раз, в квазидвумерных структурах состояния электронных возбуждений, описываемые блоховскими функциями, а также их взаимодействие между собой и с излучением в первом приближении остаются такими же, как в объемных полупроводниках [25]. Это позволяет рассматривать эти структуры параллельно с объемными полупроводниками. Спецификация для квантовых ям на основе соединений с симметрией цинковой обманки типа GaAs выполняется в разд. 3, где проводится обстоятельный анализ двухэкситонных корреляций в системе экситонов тяжелых дырок (ТД). Выведенные гейзенберговские уравнения движения применяются в разд. 4 для изучения когерентного ЧВС. Выясняется, что поляризационная зависимость когерентного ЧВС связана с проявлением разных компонент двухэкситонных корреляций в разных конфигурациях поляризаций приложенных импульсов. Для различных конфигураций получаются общие выражения для амплитуды сигналов ЧВС ВР, которые в пределе ультракоротких импульсов сводятся к аналитическим функциям. С их помощью проводится анализ характеристик сигналов в каждой конфигурации, а также сравнение формы и интенсивности

сигналов в различных конфигурациях. Результат показывает, в частности, что сигналы ЧВС при перпендикулярно-линейной поляризации проявляют характерные черты в виде квантовых биений, а также малой интенсивности по сравнению с сигналами при социркулярной поляризации. Анализируется зависимость биэкситонных характерных черт от биэкситонных параметров, а также возможность их проявления в сигналах при параллельно-линейной поляризации. Представлены графические изображения, построенные на основе расчетов с параметрами квантовой ямы GaAs в трех поляризационных конфигурациях.

Основные результаты работы формулируются в заключительном разд. 5. Везде в статье полагаем  $\hbar = 1$ .

## 2. ЭКСИТОННЫЙ ГАМИЛЬТониАН В СЛАБОНЕЛИНЕЙНОМ РЕЖИМЕ

Рассмотрим прямозонный полупроводник с двумя зонами, находящийся в поле квазирезонансного циркулярно поляризованного лазерного излучения. Предполагается, что излучение распространяется в направлении оси роста кристалла, выбранной в качестве оси квантования (оси  $z$ ). Поглощение полупроводником  $N$  фотонов приводит к возбуждению в зону проводимости  $N$  электронов, оставляющих за собой  $N$  дырок в валентной зоне;  $N$  предполагается малым по сравнению с общим числом валентных электронов. Полупроводник может быть как объемным, так и квазидвумерным, в котором имеет место квантовое ограничение вдоль оси  $z$ . В результате движение носителей в этом направлении квантовано, каждому уровню размерного квантования  $n$  соответствует энергетическая подзона в плоскости  $k_x k_y$  [25]. В рассматриваемом направлении распространения излучения разрешенными являются оптические переходы с  $\Delta n = 0$  между электронными и дырочными подзонами. Поскольку спектральное расстояние между первой и второй электронными подзонами намного больше энергии корреляций электрон-дырочных пар, при квазирезонансном межзонном возбуждении можно полагать, что носители заряда заселяют только электронную и дырочную подзоны с  $n = 1$ . Они и играют роль традиционных зоны проводимости и валентной зоны квазидвумерного полупроводника.

Согласно закону сохранения импульса, волновой вектор каждой создаваемой электрон-дырочной пары равен волновому вектору поглощаемого фото-

на, который пренебрежимо мал в видимой области спектра. По этой причине будут рассматриваться только зонные состояния вблизи точки  $\mathbf{k} = 0$ . Большинство прямозонных полупроводников кристаллизуются либо в решетку типа цинковой обманки (точечная группа  $T_d$ ), либо в структуру вюрцита (точечная группа  $C_{6v}$ ). В обоих случаях зона проводимости и валентная зона образованы в основном из атомных функций  $s$ - и  $p$ -типов. Следовательно, результирующий угловой момент  $j_e$  электронов вблизи дна зоны проводимости просто равен  $1/2$ , а  $j_h$  дырок около вершины валентной зоны может быть либо  $1/2$ , либо  $3/2$  в зависимости от материала. В представлении вторичного квантования обозначим через  $C_{\lambda\mathbf{k}}^+$  оператор рождения фотона с волновым вектором  $\mathbf{k}$  и проекцией спина (поляризацией)  $\lambda$ , а через  $e_{m_e\mathbf{p}}$  ( $h_{m_h\mathbf{p}}$ ) — оператор уничтожения электрона (дырки) с проекцией углового момента  $m_e$  ( $m_h$ ) и квазиимпульсом  $\mathbf{p}$ . Проекция спина  $\lambda$  фотона света, поляризованного по правому или левому кругу, равна соответственно  $+1$  или  $-1$ . При поглощении фотона полупроводником создается электрон-дырочная пара с проекцией суммарного момента, равной  $\lambda$ . С помощью выражений для блоховских амплитуд, описывающих электронные состояния с различными значениями проекции углового момента вблизи  $\mathbf{k} = 0$  в зоне проводимости и валентной зоне обоих типов [26, 27], можно показать, что гамильтониан взаимодействия электрон-дырочной системы с полем квазирезонансного излучения имеет вид

$$\begin{aligned}
 H_{eh-\gamma} = & \frac{1}{\sqrt{6}} d_{cv} \delta_{j_h, 1/2} \times \\
 & \times \sum_{\lambda\mathbf{k}\mathbf{p}} \left\{ iW(k) C_{\lambda\mathbf{k}}^+ h_{\lambda/2, \mathbf{p}} e_{\lambda/2, \mathbf{k}-\mathbf{p}} + \text{H.c.} \right\} + \\
 & + \frac{1}{2} d_{cv} \delta_{j_h, 3/2} \times \\
 & \times \sum_{m_h, \mathbf{p}, \lambda\mathbf{k}} \left\{ i\lambda W(k) C_{\lambda\mathbf{k}}^+ \left[ \delta_{m_h, \lambda/2} \frac{1}{\sqrt{3}} h_{\lambda/2, \mathbf{p}} e_{\lambda/2, \mathbf{k}-\mathbf{p}} - \right. \right. \\
 & \left. \left. - \delta_{m_h, 3\lambda/2} h_{3\lambda/2, \mathbf{p}} e_{-\lambda/2, \mathbf{k}-\mathbf{p}} \right] + \text{H.c.} \right\}. \quad (1)
 \end{aligned}$$

Здесь  $d_{cv}$  — межзонный матричный элемент проекции оператора дипольного момента на направление вектора поляризации света:  $d_{cv} = \langle S | d_x | X \rangle + \langle S | d_y | Y \rangle$ ,  $|S\rangle$  — координатная часть блоховской амплитуды  $s$ -типа, а  $|X\rangle$  и  $|Y\rangle$  — координатные части блоховских амплитуд  $p$ -типа, преобразующиеся как координаты  $x$  и  $y$ ;  $W(k) = E_g \sqrt{2\pi/\epsilon_0 \omega_\gamma(k) V}$ , где  $\omega_\gamma(k)$  обозначает энергию фотона, а  $\epsilon_0$  и  $V$  — соответственно длинноволновую диэлектрическую постоянную и объем образца (который в случае двумер-

ного полупроводника равен площади его поверхности). Формула (1) получена с учетом соотношения между операторами рождения дырки и уничтожения перемещенного валентного электрона, вытекающего из трансформационных свойств электронных волновых функций при операции инверсии времени [28]. Из нее следует, что в кристаллах с точечной симметрией  $T_d$  типа GaAs ( $j_h = 3/2$ ) оптические переходы из состояний валентной зоны с  $|m_h| = 3/2$ , образующих подзону ТД, в три раза интенсивнее переходов из состояний с  $|m_h| = 1/2$ , образующих подзону легких дырок (ЛД).

При возбуждении в полупроводнике  $N > 1$  электрон-дырочных пар в системе носителей заряда происходит кулоновское взаимодействие, отталкивающее между квазичастицами одной зоны и притягивающее между квазичастицами из разных зон. При учете зависимости состояний носителей от ориентации их углового момента гамильтониан электрон-дырочной системы с эффективным кулоновским взаимодействием можно представить в следующем виде:

$$\begin{aligned}
 H_{eh} = & \\
 = & \sum_{\mathbf{k}} \left[ \sum_{m_e} E_e(k) e_{m_e \mathbf{k}}^+ e_{m_e \mathbf{k}} + \sum_{m_h} E_h(k) h_{m_h \mathbf{k}}^+ h_{m_h \mathbf{k}} \right] + \\
 & + \frac{1}{2} \sum_{\mathbf{k}\mathbf{k}'\mathbf{q}} U_q \left[ \sum_{m_e m'_e} e_{m_e, \mathbf{k}+\mathbf{q}}^+ e_{m'_e, \mathbf{k}'-\mathbf{q}}^+ e_{m'_e \mathbf{k}'} e_{m_e \mathbf{k}} + \right. \\
 & + \sum_{m_h m'_h} h_{m_h, \mathbf{k}+\mathbf{q}}^+ h_{m'_h, \mathbf{k}'-\mathbf{q}}^+ h_{m'_h \mathbf{k}'} h_{m_h \mathbf{k}} - \\
 & \left. - 2 \sum_{m_e m_h} e_{m_e, \mathbf{k}+\mathbf{q}}^+ h_{m_h, \mathbf{k}'-\mathbf{q}}^+ h_{m_h \mathbf{k}'} e_{m_e \mathbf{k}} \right], \quad (2)
 \end{aligned}$$

где под  $E_e$  и  $E_h$  подразумевается энергия соответственно электрона и дырки, а  $U_q$  — кулоновский потенциал, равный  $2\pi e^2/\epsilon_0 qV$  в двумерных и  $4\pi e^2/\epsilon_0 q^2V$  в объемных полупроводниках,  $e$  обозначает электронный заряд.

Следуя Ханамуре [18], пользуемся преобразованием Усуи [19] для преобразования динамики электрон-дырочной системы в динамику системы бозонов. При учете зависимости состояний квазичастиц от ориентации их углового момента оно выглядит следующим образом:

$$U = {}_F \langle 0 | \sum_{i=0}^{\infty} \frac{1}{i!} \left( \sum_{\mathbf{x}\mathbf{y}} a_{\mathbf{x}\mathbf{y}}^+ h_{\mathbf{y}} e_{\mathbf{x}} \right)^i | 0 \rangle_B, \quad (3)$$

где под  $|0\rangle_F$  и  $|0\rangle_B$  подразумевается соответственно фермиевское и бозевское вакуумные состояния полу-

проводника, а индексы « $\mathbf{x}$ » и « $\mathbf{y}$ » включают в себя как импульс, так и проекцию углового момента фермионов:  $\mathbf{x} \equiv \{m_e, \mathbf{k}_e\}$ ,  $\mathbf{y} \equiv \{m_h, \mathbf{k}_h\}$ .

Бозонное представление операторов  $H_{eh-\gamma}$  и  $H_{eh}$  получается в виде их изображений в бозонном пространстве, которые представляют собой бесконечные ряды по степеням плотности заполнения  $a^\dagger a$ . Для рассмотрения эффектов третьего порядка по оптическому полю достаточно ограничиться первым и вторым членами, описывающими соответственно однопарные и двухпарные корреляции:

$$\begin{aligned}
 UH_{eh-\gamma}U^+ = & \\
 = & d_{cv} \sum_{\lambda \mathbf{k}\mathbf{p}} \left\{ iW(k) C_{\lambda \mathbf{k}}^+ \left[ \delta_{j_h, 1/2} \frac{1}{\sqrt{6}} a_{\lambda/2, \mathbf{k}-\mathbf{p}; \lambda/2, \mathbf{p}} + \right. \right. \\
 & + \delta_{j_h, 3/2} \frac{\lambda}{2} \sum_{m_h} \left( \delta_{m_h, \lambda/2} \frac{1}{\sqrt{3}} a_{\lambda/2, \mathbf{k}-\mathbf{p}; \lambda/2, \mathbf{p}} - \right. \\
 & \left. \left. - \delta_{m_h, 3\lambda/2} a_{-\lambda/2, \mathbf{k}-\mathbf{p}; 3\lambda/2, \mathbf{p}} \right) \right] + \text{H.c.} \left. \right\} - \\
 & - d_{cv} \sum_{\lambda \mathbf{k}\mathbf{p}} \left\{ iW(k) C_{\lambda \mathbf{k}}^+ \times \right. \\
 & \times \sum_{\mathbf{x}\mathbf{y}} a_{\mathbf{x}\mathbf{y}}^+ \left[ \delta_{j_h, 1/2} \frac{1}{\sqrt{6}} a_{\lambda/2, \mathbf{k}-\mathbf{p}; \mathbf{y}; \lambda/2, \mathbf{p}} + \right. \\
 & + \delta_{j_h, 3/2} \frac{\lambda}{2} \sum_{m_h} \left( \delta_{m_h, \lambda/2} \frac{1}{\sqrt{3}} a_{\lambda/2, \mathbf{k}-\mathbf{p}; \mathbf{y}; \lambda/2, \mathbf{p}} - \right. \\
 & \left. \left. - \delta_{m_h, 3\lambda/2} a_{-\lambda/2, \mathbf{k}-\mathbf{p}; \mathbf{y}; 3\lambda/2, \mathbf{p}} \right) \right] + \text{H.c.} \left. \right\}, \quad (4)
 \end{aligned}$$

$$\begin{aligned}
 UH_{eh}U^+ = & \sum_{\mathbf{x}\mathbf{y}} \{ [E_e(k_e) + E_h(k_h)] a_{\mathbf{x}\mathbf{y}}^+ - \\
 & - \sum_{\mathbf{k}} U_{\mathbf{k}} a_{\mathbf{x}+\mathbf{k}, \mathbf{y}-\mathbf{k}}^+ \} a_{\mathbf{x}\mathbf{y}} + \\
 & + \frac{1}{2} \sum_{\mathbf{k}} U_{\mathbf{k}} \sum_{\mathbf{x}\mathbf{y}\mathbf{x}'\mathbf{y}'} [a_{\mathbf{x}+\mathbf{k}, \mathbf{y}}^+ a_{\mathbf{x}'-\mathbf{k}, \mathbf{y}'}^+ + a_{\mathbf{x}, \mathbf{y}+\mathbf{k}}^+ a_{\mathbf{x}', -\mathbf{k}+\mathbf{y}'}^+ + \\
 & + 2a_{\mathbf{x}+\mathbf{k}, \mathbf{y}'}^+ a_{\mathbf{x}', -\mathbf{k}+\mathbf{y}}^+] [a_{\mathbf{x}'\mathbf{y}'} a_{\mathbf{x}\mathbf{y}} - a_{\mathbf{x}'\mathbf{y}} a_{\mathbf{x}\mathbf{y}'}], \quad (5)
 \end{aligned}$$

где  $\mathbf{x} + \mathbf{k} \equiv \{m_e, \mathbf{k}_e + \mathbf{k}\}$ ,  $\mathbf{y} - \mathbf{k} \equiv \{m_h, \mathbf{k}_h - \mathbf{k}\}$  и т. д.

Можно заметить, что выражение в фигурных скобках в сумме по  $\mathbf{x}, \mathbf{y}$  в правой части формулы (5) описывает относительное движение электрона и дырки в бозонном состоянии  $a_{\mathbf{x}\mathbf{y}}^+ |0\rangle_B$ , которые притягивают друг друга посредством кулоновского потенциала. Следовательно, экситонные состояния являются собственными состояниями члена однопарных корреляций в бозонном гамильтониане. Кроме набора  $\{\nu l m\}$  водородоподобных квантовых чисел (в случае двумерных полупроводников роль  $l$  играет

$|m\rangle$  [29]), в схеме классификации по угловому моменту экситонные состояния характеризуются экситонным спином  $J$  и его проекцией  $M$  на ось квантования. Для оптически активных экситонов с  $l = 0$  возможные значения экситонного спина определяются из разложения  $D_{1/2} \otimes D_{j_h} = D_{j_h-1/2} \oplus D_{j_h+1/2}$ . Соответственно, оператор  $A_{\nu JM\mathbf{k}}$   $\nu s$ -экситона в спиновом состоянии  $JM$  выражается через бозонные операторы составляющих его электрон-дырочных пар следующим образом:

$$A_{\nu JM\mathbf{k}} = \frac{1}{\sqrt{V}} \sum_{\mathbf{p}} f_{\nu}(\mathbf{p} - \beta\mathbf{k}) \left( JM \left| \frac{1}{2} m_e j_h m_h \right. \right) \times a_{m_e \mathbf{k} - \mathbf{p}, m_h \mathbf{p}}. \quad (6)$$

Здесь  $(JM | \frac{1}{2} m_e j_h m_h)$  обозначает коэффициент Клебша–Гордана,  $\beta = \mu_h / \mu_x$ ,  $\mu_x = \mu_e + \mu_h$ ,  $\mu_e$  и  $\mu_h$  — эффективные массы соответственно электрона и дырки, а  $f_{\nu}$  —  $\nu s$ -водородоподобная волновая функция, описывающая кулоновски коррелированное электрон-дырочное движение:

$$[E_e(\alpha\mathbf{K} - \mathbf{p}) + E_h(\beta\mathbf{K} + \mathbf{p})] f_{\nu}(p) - \sum_{\mathbf{k}} U_{\mathbf{k}} f_{\nu}(\mathbf{p} - \mathbf{k}) = E_{\nu x}(K) f_{\nu}(p), \quad (7)$$

где  $\alpha = 1 - \beta$ , а  $E_{\nu x}$  — энергия экситона как кулоновски коррелированной электрон-дырочной пары. Для связанных состояний дискретного спектра  $E_{\nu x} < E_g$ , а для ионизованных состояний континуума  $E_{\nu x} \geq E_g$ .

Воспользовавшись свойствами ортонормированности и полноты системы водородоподобных волновых функций, а также системы коэффициентов Клебша–Гордана [30], получим из (6) обратное соотношение операторов:

$$a_{\mathbf{x}\mathbf{y}} = \frac{1}{\sqrt{V}} \sum_{\nu} f_{\nu}(\alpha\mathbf{k}_h - \beta\mathbf{k}_e) \times \sum_{J=j_h-1/2, j_h+1/2} \left( \frac{1}{2} m_e j_h m_h | JM \right) \times A_{\nu JM, \mathbf{k}_e + \mathbf{k}_h}, \quad (8)$$

где сумма по  $\nu$  включает суммирование по главному квантовому числу  $n$ , характеризующему состояния дискретного спектра, и интегрирование по волновому числу  $k$ , характеризующему состояния континуума.

С учетом свойств коэффициентов Клебша–Гордана получим после подстановки (8) в (4) экситонное представление оператора  $H_{eh-\gamma}$  в виде суммы двух членов:

$$H_{x-\gamma} = \sum_{\nu\lambda\mathbf{k}} i\omega_{\nu c} [C_{\lambda\mathbf{k}}^+ A_{\nu\lambda\mathbf{k}} - A_{\nu\lambda\mathbf{k}}^+ C_{\lambda\mathbf{k}}] + H_{x-\gamma}^{(2)}, \quad (9)$$

которые учитывают соответственно однопарные и двухпарные корреляции при взаимодействии системы электрон-дырочных пар с полем излучения. Последний член известен как ангармоническое экситон-фотонное взаимодействие [18, 22, 31], которое в ПХФ приводит к так называемому наполнению фазового пространства. Известно, что оно является единственным источником оптических нелинейностей в двухуровневых атомных системах. В полупроводниках эффект ангармонического экситон-фотонного взаимодействия мал в спектральной области вблизи экситонного резонанса [31, 32], особенно в когерентном ЧВС, когда он фактически равен нулю [33]. Поэтому в дальнейшем мы  $H_{x-\gamma}^{(2)}$  опускаем. В (9)  $\omega_{\nu c}$  обозначает энергию связи между  $\nu s$ -экситоном и фотоном,

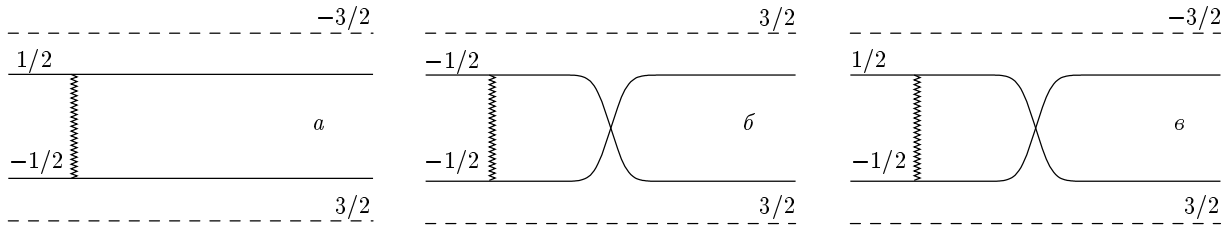
$$\omega_{\nu c} = \frac{1}{2} \sqrt{V} f_{\nu}(r=0) W(k) d_{cv} \left[ \delta_{j_h, 1/2} \sqrt{\frac{2}{3}} + \frac{1}{2} \delta_{j_h, 3/2} \left( \delta_{|m_h|, 1/2} \frac{1}{\sqrt{3}} + \delta_{|m_h|, 3/2} \sqrt{3} \right) \right]. \quad (10)$$

Отсюда следует, что в кристаллах типа GaAs оптические переходы с участием коррелированных пар с дырками из подзоны ТД (экситонов ТД) значительно более интенсивны по сравнению с переходами с участием пар с дырками из подзоны ЛД (экситонов ЛД).

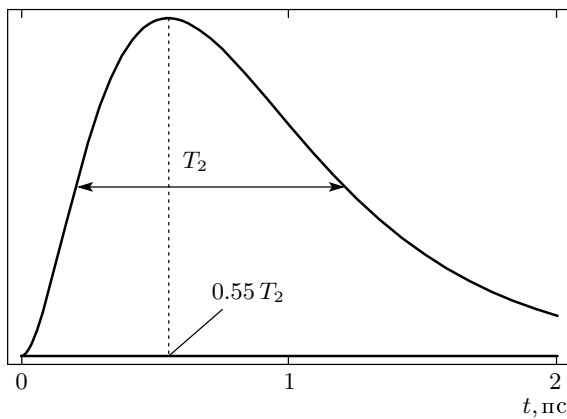
Аналогично, подстановка (8) в (5) с учетом (7) и свойств коэффициентов Клебша–Гордана дает экситонное представление оператора  $H_{eh}$  в следующем виде:

$$H_x = \sum_{\nu\xi\mathbf{k}} E_{\nu x}(k) A_{\nu\xi\mathbf{k}}^+ A_{\nu\xi\mathbf{k}} + \frac{1}{2V} \sum_{\mathbf{k}_1 \mathbf{k}_2 \mathbf{q}} \sum_{\nu'_1 \nu'_2 \nu_2 \nu_1} \left\{ U_{\nu'_1 \nu'_2 \nu_2 \nu_1}^d(q) \times \sum_{\xi_1 \xi_2} A_{\nu'_1 \xi_1, \mathbf{k}_1 + \mathbf{q}}^+ A_{\nu'_2 \xi_2, \mathbf{k}_2 - \mathbf{q}}^+ A_{\nu_2 \xi_2 \mathbf{k}_2} A_{\nu_1 \xi_1 \mathbf{k}_1} + U_{\nu'_1 \nu'_2 \nu_2 \nu_1}^{ex}(\mathbf{k}_1 - \mathbf{k}_2, \mathbf{q}) \sum_{\xi'_1 \xi'_2 \xi_2 \xi_1} S_{\xi'_1 \xi'_2 \xi_2 \xi_1}^{ex} \times A_{\nu'_1 \xi'_1, \mathbf{k}_1 + \mathbf{q}}^+ A_{\nu'_2 \xi'_2, \mathbf{k}_2 - \mathbf{q}}^+ A_{\nu_2 \xi_2 \mathbf{k}_2} A_{\nu_1 \xi_1 \mathbf{k}_1} \right\}, \quad (11)$$

где для краткости введены комбинирующие спиновые индексы  $\xi \equiv \{JM\}$ ,  $\xi_1 \equiv \{J_1 M_1\}$  и т. д., сумма по ним пробегает все спиновые состояния  $s$ -экситона в данной зонной структуре. Таким образом, в экситон-бозонном представлении однопарные и дву-



**Рис. 1.** Диаграммы типичных процессов прямого (*а*) и обменного (*б, в*) эффективных экситон-экситонных взаимодействий в системе экситонов ТД в квантовых ямах GaAs. Сплошные, штриховые и зигзагообразные линии изображают соответственно электроны, дырки и кулоновское взаимодействие между носителями заряда. Цифры над концами линий являются значениями проекций угловых моментов изображенных квазичастиц. Пара близкоудущих параллельных сплошной и штриховой линии представляет экситон, а пересечение двух сплошных линий обозначает обмен электронов, принадлежащих разным экситонам



**Рис. 2.** Социркулярная поляризация. Общая форма сигнала ЧВС ВР от ультракоротких импульсов

парные корреляции, генерируемые кулоновским взаимодействием среди носителей заряда, выражаются соответственно экситонами и их эффективным взаимодействием. При прямом взаимодействии, характеризуемом функцией  $U^d$ , корреляции заключаются только в кулоновском взаимодействии между носителями заряда, составляющими разные экситоны (рис. 1*а*). При обменном взаимодействии, плотность энергии которого характеризуется функцией  $U^{ex}$ , параллельно с кулоновским взаимодействием происходит обмен либо электронами, либо дырками, составляющими разные экситоны (рис. 2*б, в*). Именно благодаря этому обмену, кулоновское взаимодействие, которое приводит к энергии однопарных корреляций  $R_u$  порядка всего  $(10^{-3}-10^{-2})E_g$ , при двупарных корреляциях вызывает существенные эффекты. Зависимость обменного межэкситонного взаимодействия от спиновых переменных выражается символом  $S_{\xi'_1 \xi'_2 \xi_2 \xi_1}^{ex}$ , под которым подразуме-

вается следующая сумма произведений четырех коэффициентов Клебша – Гордана:

$$S_{\xi'_1 \xi'_2 \xi_2 \xi_1}^{ex} = \sum_{m_e m_h m'_e m'_h} \left( \frac{1}{2} m_e j_h m'_h | \xi'_1 \right) \left( \frac{1}{2} m'_e j_h m_h | \xi'_2 \right) \times \left( \frac{1}{2} m'_e j_h m'_h | \xi_2 \right) \left( \frac{1}{2} m_e j_h m_h | \xi_1 \right). \quad (12)$$

Принимая во внимание известное свойство этих коэффициентов, легко видеть из (12), что при  $\{\xi'_1 \xi'_2\} = \{\xi_2 \xi_1\}$  имеем

$$S_{J_1 M_1 J_2 M_2 J_2 M_2 J_1 M_1}^{ex} = \sum_{m_e} \left( \frac{1}{2} m_e j_h M_1 - m_e | J_1 M_1 \right)^2 \times \sum_{m'_e} \delta_{m'_e, M_2 - M_1 + m_e} \left( \frac{1}{2} m'_e j_h M_2 - m'_e | J_2 M_2 \right)^2, \quad (13)$$

так что обменные двухэкситонные корреляции с сохранением спинов экситонов имеют характер экситон-экситонного отталкивания. Как видно из (11), при факторизации статистического среднего от четырехоператорных слагаемых в произведения статистических средних двухоператорных множителей в ПХФ такие слагаемые дают отличный от нуля результат наряду с прямой частью (которая также является отталкиванием). Следовательно, они играют роль источника оптических нелинейностей в УБП. Естественно, основанная на ПХФ теория не может учитывать двухэкситонные корреляции с изменением спинов экситонов, т. е., когда  $\{\xi'_1 \xi'_2\} \neq \{\xi_2 \xi_1\}$ . Поскольку возможны только два значения экситонного спина, имеем  $J'_1 = J'_2 = J'$  и  $J_1 = J_2 = J$ , где

$J' \neq J$ . С помощью формулы для коэффициентов Клебша–Гордана [30] находим

$$\begin{aligned}
S_{J'M_1J'M_2JM_2JM_1}^{ex} &= \frac{1}{2} \delta_{M_1'0} \delta_{M_2'0} \delta_{M_10} \delta_{M_20} - \\
&- \left(j_h - M_2 + \frac{3}{2}\right)^{1/2} \left(j_h - M_2 + \frac{1}{2}\right)^{1/2} \times \\
&\times \left(j_h + M_1 + \frac{1}{2}\right)^{1/2} \left(j_h + M_1 + \frac{3}{2}\right)^{1/2} \times \\
&\times \frac{\delta_{M_1',M_2-1} \delta_{M_2',M_1+1}}{(2j_h + 1)^2} - \\
&- \left(j_h + M_2 + \frac{3}{2}\right)^{1/2} \left(j_h + M_2 + \frac{1}{2}\right)^{1/2} \times \\
&\times \left(j_h - M_1 + \frac{1}{2}\right)^{1/2} \left(j_h - M_1 + \frac{3}{2}\right)^{1/2} \times \\
&\times \frac{\delta_{M_1',M_2+1} \delta_{M_2',M_1-1}}{(2j_h + 1)^2}. \quad (14)
\end{aligned}$$

Отсюда следует, что корреляции с изменением спинов экситонов характеризуются нулевым значением проекции их общего спина. Если проекция спина каждого из них также меняется, то корреляции имеют характер эффективного притяжения. Подробный анализ, пример которого будет представлен в разд. 3, показывает, что в каждой зонной структуре меняющее спин экситон-экситонное взаимодействие выражает собою кулоновские обменные корреляции внутри двухэкситонных состояний с нулевым суммарным спином, среди которых есть связанные. Следовательно, существование биэкситонных состояний и связанные с ними эффекты не могут описываться в рамках ПХФ, в частности, решениями УБП.

### 3. ДВУХЭКСИТОННЫЕ КОРРЕЛЯЦИИ В СИСТЕМЕ ЭКСИТОНОВ ТД В КВАНТОВЫХ ЯМАХ

Используем полученный в предыдущем разделе экситонный гамильтониан для зонной структуры квантовых ям, основанных на соединениях с симметрией цинковой обманки типа GaAs. В них вследствие квантового ограничения точечная симметрия  $T_d$  редуцируется к симметрии  $D_{2d}$ . В результате вырождение валентной зоны снимается и подзоны ТД и ЛД отходят друг от друга на некоторую величину  $\Delta_{hl}$ , достаточно большую в широко исследуемых квантовых ямах GaAs. К двум подзонам относятся соответственно две серии экситонных уровней, при этом серия уровней экситонов ЛД расположе-

на выше. Как было отмечено ранее, сила осциллятора переходов на уровни экситонов ЛД значительно меньше, чем на уровни экситонов ТД. Следовательно, в ситуациях, когда центральные частоты приложенных импульсов попадают в спектральную область ниже самого низкого экситонного уровня, а их спектральные ширины  $\delta\omega$  меньше  $\Delta_{hl}$ , можно игнорировать существование экситонов ЛД. Будем считать, что  $\delta\omega$  также меньше спектрального промежутка между основным уровнем и началом непрерывного спектра. Поскольку сила осциллятора оптических переходов на уровни дискретного спектра пропорциональна  $1/(n+1/2)^3$ ,  $n = 0, 1, 2, \dots$  [29], в таком случае в сумме по  $\nu$  в правой части (8) и вытекающих из нее формулах можно брать только основное состояние. Спиновые состояния экситонов ТД включают дипольно-активные  $11, 1-1$  и дипольно-запрещенные состояния  $22, 2-2$ , которые в дальнейшем будут обозначаться посредством значений проекции спина  $M$ . После скрупулезного вычисления  $S^{ex}$  с помощью формулы для коэффициентов Клебша–Гордана [30], а также (13), (14), получим гамильтониан системы экситонов ТД в следующей форме (индекс  $\nu, \nu_1, \nu_2, \dots = 0$  экситонных функций и операторов опускается):

$$\begin{aligned}
H_x &= \sum_{\mathbf{k}M=\pm 1, \pm 2} E_x(\mathbf{k}) A_{M\mathbf{k}}^+ A_{M\mathbf{k}} + \\
&+ \frac{1}{2V} \sum_{\mathbf{k}_1\mathbf{k}_2\mathbf{q}} \left\{ U^d(\mathbf{q}) \times \right. \\
&\times \sum_{M_1, M_2=\pm 1, \pm 2} A_{M_1\mathbf{k}_1+\mathbf{q}}^+ A_{M_2\mathbf{k}_2-\mathbf{q}}^+ A_{M_2\mathbf{k}_2} A_{M_1\mathbf{k}_1} + \\
&+ U^{ex}(\mathbf{k}_1-\mathbf{k}_2, \mathbf{q}) \left[ \sum_{M=\pm 2} A_{M\mathbf{k}_1+\mathbf{q}}^+ A_{M\mathbf{k}_2-\mathbf{q}}^+ A_{M\mathbf{k}_2} A_{M\mathbf{k}_1} + \right. \\
&+ \frac{9}{16} \sum_{M=\pm 1} A_{M\mathbf{k}_1+\mathbf{q}}^+ A_{M\mathbf{k}_2-\mathbf{q}}^+ A_{M\mathbf{k}_2} A_{M\mathbf{k}_1} + \\
&+ \frac{3}{2} \sum_{M_1=\pm 2; M_2=\pm 1} A_{M_1\mathbf{k}_1+\mathbf{q}}^+ A_{M_2\mathbf{k}_2-\mathbf{q}}^+ A_{M_2\mathbf{k}_2} A_{M_1\mathbf{k}_1} - \\
&- \frac{3}{8} \left( A_{1\mathbf{k}_1+\mathbf{q}}^+ A_{-1\mathbf{k}_2-\mathbf{q}}^+ + A_{-1\mathbf{k}_1+\mathbf{q}}^+ A_{1\mathbf{k}_2-\mathbf{q}}^+ \right) \times \\
&\quad \times \left( A_{2\mathbf{k}_2} A_{-2\mathbf{k}_1} + A_{-2\mathbf{k}_2} A_{2\mathbf{k}_1} \right) - \\
&- \frac{3}{8} \left( A_{2\mathbf{k}_1+\mathbf{q}}^+ A_{-2\mathbf{k}_2-\mathbf{q}}^+ + A_{-2\mathbf{k}_1+\mathbf{q}}^+ A_{2\mathbf{k}_2-\mathbf{q}}^+ \right) \times \\
&\quad \left. \left. \times \left( A_{1\mathbf{k}_2} A_{-1\mathbf{k}_1} + A_{-1\mathbf{k}_2} A_{1\mathbf{k}_1} \right) \right] \right\}. \quad (15)
\end{aligned}$$

Важно отметить, что выражение для  $H_x$  во всех зонных структурах с простыми (вырожденны-

ми только по спине) зонами имеют точно такую же структуру, как (15). Различаться могут только значения спина оптически неактивных состояний и коэффициентов перед слагаемыми при  $U^{ex}$ . Следовательно, полученные ниже результаты являются общими для всех полупроводников с простыми зонами. Из (15) следует, как обсуждалось выше, что член двухэкситонных корреляций в экситонном гамильтониане состоит из спин-сохраняющей и спин-меняющей компонент. Первая описывает эффективное отталкивание между экситонами с отличным от нуля суммарным спином, в частности, между оптически активными экситонами с одинаковой ориентацией спина. Последняя описывает эффективное притяжение между экситонами в двухэкситонном состоянии с нулевым суммарным спином (рис. 1 в). Рассмотрим суперпозицию таких состояний с определенным импульсом  $\mathbf{K}$ :

$$|\mathbf{K}00\rangle = \frac{\mathcal{N}}{\sqrt{V}} \sum_{\mathbf{k}} \Phi(\mathbf{k}) \times \left[ \sum_{M=\pm 1} (00|1M1-M) A_{M,\mathbf{K}/2+\mathbf{k}}^+ A_{-M,\mathbf{K}/2-\mathbf{k}}^+ + \sum_{M=\pm 2} (00|2M2-M) A_{M,\mathbf{K}/2+\mathbf{k}}^+ A_{-M,\mathbf{K}/2-\mathbf{k}}^+ \right] |0\rangle, \quad (16)$$

где  $\mathcal{N}$  является коэффициентом нормировки. С помощью (15) легко проверить, что (16) является собственным состоянием экситонного гамильтониана:

$$H_x |\mathbf{K}00\rangle = E_{xx}(K) |\mathbf{K}00\rangle, \quad (17)$$

которое в дальнейшем будем называть биэкситоном в широком смысле слова. Его огибающая функция  $\Phi$  удовлетворяет уравнению

$$\frac{k^2}{\mu_x} \Phi(\mathbf{k}) + \sum_{\mathbf{q}} \left[ U^d(q) - \frac{3}{4} U^{ex}(2\mathbf{k}, \mathbf{q}) \right] \Phi(\mathbf{k}-\mathbf{q}) = \mathcal{E} \Phi(\mathbf{k}), \quad (18)$$

где  $\mathcal{E} \equiv E_{xx}(0) - 2E_x(0)$  — энергия двухэкситонных корреляций в биэкситоне. Каждое решение  $\Phi_i(\mathbf{k})$  этого уравнения, являющееся волновой функцией квазичастицы с массой  $\mu_x/2$  и энергией  $\mathcal{E}_i$ , описывает состояние  $i$  коррелированного движения двух экситонов (приведенная масса которых равна  $\mu_x/2$ ) в биэкситоне. При малой разности импульсов экситонов нелокальностью потенциала их взаимного притяжения можно пренебречь и потенциальное поле в (18) является немонотонной функцией расстояния в

координатном пространстве [34]. Его можно аппроксимировать различными функциями с областью отрицательных значений в виде потенциальной ямы. В двумерной потенциальной яме всегда имеются уровни отрицательной энергии [35], так что среди собственных решений уравнения (18) должны быть волновые функции связанных состояний. С учетом значений коэффициентов Клебша–Гордана, входящих в правую часть (16), запишем оператор рождения биэкситона в состоянии  $i$  в следующем виде:

$$B_{i,\mathbf{K}}^+ = \frac{\mathcal{N}}{\sqrt{V}} \sum_{\mathbf{k}} \Phi_i(\mathbf{k}) \times \left[ \frac{1}{\sqrt{3}} \sum_{M=\pm 1} A_{M,\mathbf{K}/2+\mathbf{k}}^+ A_{-M,\mathbf{K}/2-\mathbf{k}}^+ + \frac{1}{\sqrt{5}} \sum_{M=\pm 2} A_{M,\mathbf{K}/2+\mathbf{k}}^+ A_{-M,\mathbf{K}/2-\mathbf{k}}^+ \right]. \quad (19)$$

Используя свойство полноты системы собственных функций уравнения (18), а также коэффициентов Клебша–Гордана, получим обратное (19) соотношение:

$$\begin{aligned} A_{1\mathbf{k}_1}^+ A_{-1\mathbf{k}_2}^+ &= \frac{1}{\mathcal{N}\sqrt{3V}} \sum_i \Phi_i^* \left( \frac{\mathbf{k}_1 - \mathbf{k}_2}{2} \right) B_{i,\mathbf{k}_1+\mathbf{k}_2}^+, \\ A_{2\mathbf{k}_1}^+ A_{-2\mathbf{k}_2}^+ &= \frac{1}{\mathcal{N}\sqrt{5V}} \sum_i \Phi_i^* \left( \frac{\mathbf{k}_1 - \mathbf{k}_2}{2} \right) B_{i,\mathbf{k}_1+\mathbf{k}_2}^+, \end{aligned} \quad (20)$$

где сумма по  $i$  включает сумму по связанным состояниям  $i = b$  с энергией корреляций  $\mathcal{E}_b < 0$  и интегрирование по состояниям рассеяния  $i = \mathbf{p}$  с положительной энергией корреляций  $\mathcal{E}_p = p^2/\mu_x$ .

Из формул (9) (в которых берется только  $\nu = 0$ , а  $H_{x-\gamma}^{(2)}$  опускается), а также (15), (18)–(20) получаем гейзенберговские уравнения движения для экситонных и биэкситонных операторов в следующей форме:

$$\begin{aligned} i \frac{\partial A_{\lambda\mathbf{k}}}{\partial t} &= E_x(k) A_{\lambda\mathbf{k}} - i\omega_c C_{\lambda\mathbf{k}} + \frac{1}{V} \sum_{\mathbf{k}'\mathbf{q}} \left[ U^d(q) + \frac{9}{16} U^{ex}(\mathbf{k}' - \mathbf{k}, \mathbf{q}) \right] \times \\ &\quad \times A_{\lambda,\mathbf{k}'+\mathbf{q}}^+ A_{\lambda\mathbf{k}'} A_{\lambda,\mathbf{k}+\mathbf{q}} + \sum_{i,\mathbf{k}'} \left[ \mathcal{E}_i - \frac{(\mathbf{k}' - \mathbf{k})^2}{4\mu_x} \right] \frac{2}{\mathcal{N}\sqrt{5V}} \Phi_i^* \left( \frac{\mathbf{k}' - \mathbf{k}}{2} \right) \times \\ &\quad \times A_{-\lambda\mathbf{k}'}^+ B_{i,\mathbf{k}'+\mathbf{k}}, \end{aligned} \quad (21)$$



$$i \frac{\partial B_{i,\mathbf{k}}}{\partial t} = E_{i,x}(k) B_{i,\mathbf{k}} - \sum_{\mathbf{k}'} i\omega_c \frac{\mathcal{N}}{\sqrt{3V}} \Phi_i \left( \mathbf{k}' - \frac{\mathbf{k}}{2} \right) \sum_{\lambda} A_{-\lambda, \mathbf{k}-\mathbf{k}'} C_{\lambda \mathbf{k}'}. \quad (22)$$

В общем случае динамика экситон-биэкситонной системы описывается системой уравнений для ожидаемых значений фотонных, экситонных и биэкситонных амплитуд, которая получается из (21), (22) (а также присоединенного к ним уравнения для фотонных операторов) путем статистического усреднения обеих их частей. Для получения окончательных уравнений всегда приходится пользоваться каким-либо приближением для факторизации средних от произведений трех операторов в нелинейной части уравнений. В когерентном режиме, когда релаксационные процессы еще не успевают разрушить фазовую память оптических возбуждений, пользуются понятием о когерентных фотонах и экситонах, а также порожденных ими совместно биэкситонах как состояниях с макроскопической пропорциональной  $\sqrt{V}$  амплитудой и определенной фазой [36–38]. Соответственно операторы заменяются  $C$ -числами, а затухание экситонных и биэкситонных состояний описывается введенными феноменологическими параметрами дефазировки  $\gamma_x$  и  $\gamma_{xx}$ . Само собой разумеется, что  $\gamma_{xx} \geq \gamma_x$ . В таком приближении уравнения (21), (22) готовы для описания когерентного нелинейно-оптического отклика экситонной системы с учетом его зависимости от конфигурации поляризации импульсов возбуждения. Как видно из (21), существуют два типа оптических нелинейностей третьего порядка в экситонной системе, связанных соответственно с двумя компонентами кулоновских двухэкситонных корреляций. Поскольку биэкситон присутствует только в системе, где имеются экситоны с противоположными ориентациями спина, при социркулярной поляризации импульсов проявляются исключительно экситонные нелинейности, вызванные отталкиванием между индуцированными экситонами с одинаковой спиновой ориентацией. Биэкситонные же нелинейности могут возникать только в контрциркулярной конфигурации. В этом заключается поляризационная зависимость когерентных нелинейно-оптических эффектов третьего порядка, впервые обнаруженная в экспериментах по экситон-биэкситонному эффекту Штарка [39].

Интересно отметить, что уравнение (22) для основного биэкситонного состояния полностью совпадает с таким же уравнением в феноменологической биэкситонной теории [40]. Однако на этом совпадении заканчивается. В феноменологической те-

рии биэкситон рассматривается как самостоятельная квазичастица, а биэкситонные нелинейности считаются вызванными связью биэкситона с оптическим полем и описываются в рамках трехуровневой схемы. Соответствующий анализ показывает, что как приближение феноменологическая теория приемлема для описания биэкситонных эффектов в ситуациях, когда возбуждение можно считать стационарным, а его спектральная ширина мала по сравнению с биэкситонной энергией связи. Поэтому не удивительно, что феноменологическая теория имела успех при описании оптических нелинейностей, индуцированных пикосекундным импульсом в  $\text{CuCl}$ , известном своей большой энергией связи биэкситона в области биэкситонного резонанса (так называемой области  $M$ -полосы). Совершенно иначе обстоит дело с подавляющим большинством квазидвумерных квантовых ям, в которых экситонный и биэкситонный уровни почти вырождены, тем более в поле субпикосекундных импульсов. Здесь всегда возбуждаются одновременно и экситон, и биэкситон, притом не только основное, но и все состояния последнего. Как впервые было отмечено в [41], независимость биэкситона и экситона противоречит микроскопической теории. Действительно, как двухэкситонное состояние биэкситон не может быть независимым по отношению к составляющим его экситонам. И уравнение (21) показывает, что не существует прямой связи между двухэкситонными состояниями и полем излучения, а биэкситонные нелинейности обязаны своим происхождением экситон-биэкситонной связи.

Как следует из (21), (22), вес вклада каждого из биэкситонных состояний в оптические нелинейности третьего порядка определяется произведением  $\mathcal{E}_i |\Phi_i|^2$ . Следовательно, расчет биэкситонных эффектов на основе этих уравнений предполагает наличие разумных приближений для биэкситонных огибающих волновых функций. Мы получаем эти функции из решения уравнения (18), заимствуя из [42] приближение, в котором потенциал экситон-экситонного притяжения аппроксимируется эффективным потенциалом Морзе с набором вариационных параметров. В [42] установлено, что при всех реально существующих значениях отношения эффективных масс электрона и дырки имеются два уровня дискретного спектра. Для квантовых ям  $\text{GaAs}$  ( $m_e/m_{hh} \approx 1/5$ ) находим, что в зависимости от выбора вариационных параметров энергия связи основного и возбужденного состояний варьируется в пределах соответственно  $(0.12-0.18)\text{Ry}$  и  $(0.03-0.05)\text{Ry}$ . При  $\text{Ry} \approx 10$  мэВ и типичных зна-

чениях времени фазовой релаксации  $T_2$  порядка пикосекунд (соответствующих сумме полуширин экситонного и биэкситонного уровней  $\gamma_x + \gamma_{xx}$  немного меньше 1 мэВ) возбужденный уровень сливается с непрерывным спектром. Что касается основного состояния, предполагаем, что его энергия связи  $|\mathcal{E}_b|$  больше суммы  $\gamma_x + \gamma_{xx}$  по крайней мере в несколько раз. Только в таком случае можно говорить о наличии в экситонной системе связанного биэкситонного состояния. Случай  $|\mathcal{E}_b|$ , немного большей или порядка  $\gamma_x + \gamma_{xx}$ , является предметом отдельного рассмотрения. Заметим только, что биэкситонные эффекты в таком случае получаются очень слабыми. Таким образом, мы ограничиваемся ситуацией, когда система собственных решений уравнения (18) состоит из волновой функции основного связанного состояния  $\Phi_b$ , конечной на бесконечности, и совокупности волновых функций состояний рассеяния  $\Phi_p$ , имеющих на бесконечности вид сферической волны [35]. Ими и будем пользоваться для вычисления биэкситонных нелинейностей в когерентном ЧВС в следующем разделе.

При рассмотрении системы, находящейся в поле линейно-поляризованного лазерного поля, удобно классифицировать экситонные состояния по схеме Костера и др. [43]. Согласно этой схеме, зона проводимости и валентная зона в кристаллах типа GaAs преобразуются соответственно по неприводимым представлениям  $\Gamma_6$  и  $\Gamma_8$  группы точечной симметрии  $T_d$ . В квантовых ямах четырехмерное представление  $\Gamma_8$  распадается на два двумерных представления  $\Gamma_6$  и  $\Gamma_7$  группы  $D_{2d}$ , по которым преобразуются состояния ТД и ЛД соответственно. Следовательно, симметрические свойства экситонов ТД определяются соотношением  $\Gamma_6 \otimes \Gamma_6 = \Gamma_1 \oplus \Gamma_2 \oplus \Gamma_5$ . Неприводимые представления  $\Gamma_1$  и  $\Gamma_2$  одномерные, а  $\Gamma_5$  двумерное со строками  $\Gamma_5X$  и  $\Gamma_5Y$ , которые ниже будут обозначаться просто  $X$  и  $Y$ . Соотношение между бозонными и экситонными операторами, аналогичное (8), имеет вид

$$a_{xy} = \frac{1}{\sqrt{V}} f(\alpha \mathbf{k}_h - \beta \mathbf{k}_e) \times \sum_{\xi=X,Y,\Gamma_1,\Gamma_2} (\Gamma_6 m_e \Gamma_6 m_h | \xi) A_{\xi \mathbf{k}_e + \mathbf{k}_h}. \quad (23)$$

В состояниях с симметрией  $X$  и  $Y$  экситоны дипольно-активны и взаимодействуют с фотонами с линейными поляризациями соответственно  $\lambda = X, Y$ . В отличие от некоррелированных электрон-дырочных пар экситоны обладают свойством сохранять передаваемую им полем не только цирку-

лярную, но и линейную поляризацию [44]. В результате экситон-фотонное взаимодействие имеет такой же вид, как (9), только теперь суммирование проводится по  $\lambda = X, Y$ . Оператор рождения биэкситонного состояния, которое преобразуется по представлению  $\Gamma_1$  группы  $D_{2d}$ , выглядит следующим образом:

$$B_{i,\mathbf{K}}^+ = \frac{\mathcal{N}}{\sqrt{V}} \sum_{\mathbf{k}} \Phi_i(\mathbf{k}) \times \left[ \frac{1}{\sqrt{3}} \sum_{\xi=X,Y} A_{\xi,\mathbf{K}/2+\mathbf{k}}^+ A_{\xi,\mathbf{K}/2-\mathbf{k}}^+ + \frac{1}{\sqrt{5}} \sum_{\xi=\Gamma_1,\Gamma_2} A_{\xi,\mathbf{K}/2+\mathbf{k}}^+ A_{\xi,\mathbf{K}/2-\mathbf{k}}^+ \right]. \quad (24)$$

Подставив (23) в (5) и выполнив расчет  $S^{ex}$  с помощью таблиц коэффициентов Клебша–Гордана для точечных групп [43], получим гамильтониан системы экситонов ТД в поле линейно поляризованного излучения. Из него вытекают гейзенберговские уравнения движения:

$$i \frac{\partial A_{X\mathbf{k}}}{\partial t} = E_x(k) A_{X\mathbf{k}} - i\omega_c C_{X\mathbf{k}} + \frac{1}{V} \sum_{\mathbf{k}'\mathbf{q}} \left[ U^d(q) + \frac{9}{16} U^{ex}(\mathbf{k}' - \mathbf{k}, \mathbf{q}) \right] \times \left[ A_{X,\mathbf{k}'+\mathbf{q}}^+ A_{X\mathbf{k}'} A_{X,\mathbf{k}+\mathbf{q}} + A_{Y,\mathbf{k}'+\mathbf{q}}^+ A_{Y\mathbf{k}'} A_{X,\mathbf{k}+\mathbf{q}} \right] + \sum_{i\mathbf{k}'} \left[ \mathcal{E}_i - \frac{(\mathbf{k}' - \mathbf{k})^2}{4\mu_x} \right] \frac{2}{\mathcal{N}\sqrt{5V}} \Phi_i^* \left( \frac{\mathbf{k}' - \mathbf{k}}{2} \right) \times A_{X\mathbf{k}'}^+ B_{i,\mathbf{k}'+\mathbf{k}}, \quad (25)$$

$$i \frac{\partial B_{i,\mathbf{k}}}{\partial t} = E_{ixx}(\mathbf{k}) B_{i,\mathbf{k}} - \sum_{\mathbf{k}'} i\omega_c \frac{\mathcal{N}}{\sqrt{3V}} \Phi_i \left( \mathbf{k}' - \frac{\mathbf{K}}{2} \right) \times \sum_{\lambda=X,Y} A_{\lambda,\mathbf{k}-\mathbf{k}'} C_{\lambda\mathbf{k}'}, \quad (26)$$

поменяв местами  $X$  и  $Y$  в (25), получим уравнение для  $A_{Y\mathbf{k}}$ . В следующем разделе совместно с (21), (22) уравнения (25), (26) будут служить исходным положением для изучения поляризационной зависимости когерентного ЧВС в квантовых ямах GaAs.

#### 4. ТЕОРИЯ ЧВС В КОГЕРЕНТНОМ РЕЖИМЕ

В типичных экспериментах нелинейной спектроскопии с ВР используются два лазерных импульса, каждый со своими поляризацией  $\lambda_i$  и волновым

вектором  $\mathbf{k}_i$ ,  $i = 1, 2$ , которые пересекают образец в моменты времени, разделенные промежутком  $T$ . Он называется временем задержки. Импульс 1 сам может зондировать линейно-оптические свойства образца — его называют зондирующим, а импульс 2 — накачкой. Как правило, накачка сильнее по интенсивности, но здесь она предполагается не слишком сильной, чтобы не проявлялись эффекты выше третьего порядка по полю. При длительности и времени задержки импульсов, меньших времен релаксаций электронных возбуждений кристалла, оба импульса попадают на образец в пределах когерентного режима. На основе теории когерентных состояний фотонов и экситонов [36–38] рассматриваем приложенные поля как поляризованные когерентные фотонные состояния с макроскопической амплитудой и определенной фазой:

$$C_{\lambda_i \mathbf{k}_i} = \sqrt{V} E_i(t) \exp[i\mathbf{k}_i \cdot \mathbf{r}_i - i\omega_i t], \quad i = 1, 2, \quad (27)$$

где  $E_i(t)$  — амплитудные огибающие, а  $\omega_i$  — центральные частоты импульсов, расположенные ниже основного экситонного уровня, с расстройками  $\Delta_i \equiv E_x - \omega_i$ , меньшими их спектральной ширины. В первом приближении каждое из этих фотонных состояний порождает соответствующее спин-ориентированное когерентное экситонное состояние с начальной фазой, совпадающей с его фазой:

$$A_{\lambda_i \mathbf{k}_i}^{(1)} = \sqrt{V} P_i(t) \exp[i\mathbf{k}_i \cdot \mathbf{r} - i\omega_i t], \quad i = 1, 2. \quad (28)$$

Вследствие нелинейностей, вызываемых корреляциями в системе создаваемых когерентных экситонов, общий отклик системы представляет собой сумму линейных откликов (28) и отклика третьего порядка  $A_{\lambda \mathbf{k}}^{(3)}$ . Последний состоит из компонент, излучающих фотоны в направлениях  $\mathbf{k}_1$ ,  $\mathbf{k}_2$ ,  $2\mathbf{k}_1 - \mathbf{k}_2$  и  $2\mathbf{k}_2 - \mathbf{k}_1$ . В экспериментах по ЧВС дифракционный сигнал, распространяющийся в направлении  $2\mathbf{k}_2 - \mathbf{k}_1$ , разрешается по времени с помощью сверхбыстрой техникой детектирования,  $S_{TR}(t, T) \propto |A_{2\mathbf{k}_2 - \mathbf{k}_1}^{(3)}(t, T)|^2$ . Он служит мерой количества когерентности, оставшейся в образце от возбуждения импульсом 1 в момент прихода импульса 2. Как и все другие компоненты  $A_{\lambda \mathbf{k}}^{(3)}$ , в любой поляризационной конфигурации  $A_{2\mathbf{k}_2 - \mathbf{k}_1}^{(3)}(t, T)$  можно вычислить с помощью уравнений (21), (22) или (25), (26). В самом деле, запишем оператор фотонного и экситонного полей в следующей форме:

$$\begin{aligned} C_{\lambda \mathbf{k}} &= \delta_{\lambda \lambda_1} \delta_{\mathbf{k} \mathbf{k}_1} C_{\lambda_1 \mathbf{k}_1} + \delta_{\lambda \lambda_2} \delta_{\mathbf{k} \mathbf{k}_2} C_{\lambda_2 \mathbf{k}_2}, \\ A_{\lambda \mathbf{k}} &= \delta_{\lambda \lambda_1} \delta_{\mathbf{k} \mathbf{k}_1} A_{\lambda_1 \mathbf{k}_1}^{(1)} + \delta_{\lambda \lambda_2} \delta_{\mathbf{k} \mathbf{k}_2} A_{\lambda_2 \mathbf{k}_2}^{(1)} + A_{\lambda \mathbf{k}}^{(3)}. \end{aligned} \quad (29)$$

Подставляем (29) в (21) или (25), в которые введен феноменологический параметр  $\gamma_x$ . Предполагая, что направления распространения импульсов составляют малый угол, опускаем в дальнейшем аргумент  $\mathbf{k}$ -зависимых функций. В линейном по приложенному полю приближении имеем

$$\left\{ \frac{\partial}{\partial t} + i[E_x - i\gamma_x] \right\} A_{\lambda_i \mathbf{k}_i}^{(1)} = -\omega_c C_{\lambda_i \mathbf{k}_i}, \quad i = 1, 2. \quad (30)$$

Отсюда находим амплитуды  $P_i^{(1)}$  в следующем виде:

$$\begin{aligned} P_i^{(1)}(t) &= -\omega_c \exp[-(i\Delta_i + \gamma_x)t] \times \\ &\times \int_{-\infty}^t dt' \exp[(i\Delta_i + \gamma_x)t'] E_i(t'), \quad i = 1, 2. \end{aligned} \quad (31)$$

При повторной подстановке (29) в (21) или (25) вместо  $A_{\lambda \mathbf{k}}$  и  $B_{i, \mathbf{k}}$  в нелинейные слагаемые в правых частях этих уравнений вставляем первый член их разложений по полю, соответственно,  $A_{\lambda \mathbf{k}}^{(1)}$  и  $B_{i, \mathbf{k}}^{(2)}$ . Относительно  $B_{i, \mathbf{k}}^{(2)}$ , как следует из (19) и (29), при циркулярной поляризации импульсов  $B_{i, \mathbf{k}}^{(2)} \neq 0$  только при  $\lambda_1 = -\lambda_2$ , т. е. в контрциркулярной конфигурации. При линейной же поляризации импульсов, (24) и (29) показывают, что когерентные биэкситонные состояния создаются и в параллельно-линейной, и в перпендикулярно-линейной конфигурациях. Таким образом, из уравнений (21) или (25) с учетом (30) получаем уравнение для члена третьего порядка  $A_{\lambda \mathbf{k}}^{(3)}$  в когерентном экситонном поле с источником нелинейностей в виде когерентного экситон-экситонного взаимодействия, когерентной экситон-биэкситонной связи или суммы того и другого. Поскольку конкретный вид уравнения зависит от поляризационной конфигурации, рассмотрим их в отдельности.

#### 4.1. Контрциркулярная поляризация импульсов: отсутствует ЧВС

Пусть  $\lambda_1 = -\lambda_2 = 1$ . После подстановки соответствующей формы (29) в (21) получаем с учетом (30) уравнение для  $A_{\lambda \mathbf{k}}^{(3)}$ , из которого следует, что

$$A_{\lambda \mathbf{k}}^{(3)} = \delta_{\lambda 1} \delta_{\mathbf{k} \mathbf{k}_1} A_{\mathbf{k}_1}^{(3)} + \delta_{\lambda, -1} \delta_{\mathbf{k} \mathbf{k}_2} A_{\mathbf{k}_2}^{(3)}, \quad (32)$$

т. е.  $A_{\lambda \mathbf{k}}^{(3)}$  состоит из компонент, распространяющихся в направлениях  $\mathbf{k}_1$  и  $\mathbf{k}_2$ . Величина  $A_{\mathbf{k}_1}^{(3)}$ , например, описывает изменение в пропускании зондирующего импульса, вызванное действием накачки. Таким образом, при контрциркулярной поляризации ЧВС не происходит, так как нет сигналов, распространяющихся в направлениях  $2\mathbf{k}_1 - \mathbf{k}_2$  и  $2\mathbf{k}_2 - \mathbf{k}_1$ .

### 4.2. Социркулярная поляризация импульсов: проявление экситонных нелинейностей

В случае  $\lambda_1 = \lambda_2$  биекситон не образуется. ЧВС в этой конфигурации отражает нелинейно-оптические свойства системы взаимодействующих экситонов с одинаковой ориентацией спина. В таком случае численные решения УБП могут объяснять многие экспериментальные наблюдения. Получим здесь эти результаты в аналитической картине, в которой можно выяснить зависимость характеристик сигнала ЧВС ВР от времени фазовой релаксации системы.

Из уравнения для  $A_{\lambda\mathbf{k}}^{(3)}$ , полученного при подстановке соответствующей формы (29) в (21), находим

$$A_{\lambda\mathbf{k}}^{(3)} = \delta_{\lambda\lambda_1} \left\{ \delta_{\mathbf{k}\mathbf{k}_1} A_{\mathbf{k}_1}^{(3)} + \delta_{\mathbf{k}\mathbf{k}_2} A_{\mathbf{k}_2}^{(3)} + \delta_{\mathbf{k}, 2\mathbf{k}_1 - \mathbf{k}_2} A_{2\mathbf{k}_1 - \mathbf{k}_2}^{(3)cc} + \delta_{\mathbf{k}, 2\mathbf{k}_2 - \mathbf{k}_1} A_{2\mathbf{k}_2 - \mathbf{k}_1}^{(3)cc} \right\}, \quad (33)$$

где компонента ЧВС  $A_{2\mathbf{k}_2 - \mathbf{k}_1}^{(3)cc}$  удовлетворяет уравнению (индекс поляризации опускается)

$$\left\{ \frac{\partial}{\partial t} + i[E_x - i\gamma_x] \right\} A_{2\mathbf{k}_2 - \mathbf{k}_1}^{(3)cc} = -i \frac{9}{16V} U^{ex} A_{\mathbf{k}_1}^{(1)+} \left( A_{\mathbf{k}_2}^{(1)} \right)^2. \quad (34)$$

Представляя решение этого уравнения в виде

$$A_{2\mathbf{k}_2 - \mathbf{k}_1}^{(3)cc} = \sqrt{V} P^{(3)cc}(t) \times \exp[i(2\mathbf{k}_2 - \mathbf{k}_1)\mathbf{r} - i(2\omega_2 - \omega_1)t] \quad (35)$$

и учитывая (31), находим амплитуду  $P^{(3)cc}$  в следующей форме:

$$P^{(3)cc}(t, T) = \frac{9}{16} i U^{ex} \omega_c^3 \exp[-i(\Delta - i\gamma_x)t] \times \int_{-\infty}^t dt' \exp[-2\gamma_x t'] \times \int_{-\infty}^{t'} dt'' \exp[(-i\Delta_1 + \gamma_x)t''] E_1(t'')^* \times \left[ \int_{-\infty}^{t'} dt'' \exp[i(\Delta_2 - i\gamma_x)t''] E_2(t'') \right]^2. \quad (36)$$

Формула (36) выражает в общей форме зависимость амплитуды сигнала ЧВС ВР в социркулярной поляризационной конфигурации от других экспериментальных условий и параметров образца. Из последних плотность энергии эффективного межэкситонного взаимодействия  $U^{ex} \approx 1.514 R_y a_x^2 (a_x -$

экситонный эффективный радиус) влияет только на интенсивность сигнала, его форма определяется скоростью экситонной дефазировки. Относительно экспериментальных условий, кроме расстройек частот и времени задержки импульсов, их временная эволюция также играет роль в определении формы сигнала. Предполагаем, что она является гауссовой, и более поздний из импульсов пересекает образец в момент  $t = 0$ :

$$E_1(t) = \frac{2}{\sqrt{\pi}} E_t \times \begin{cases} \exp\left\{-[2(t+T)/\tau]^2\right\} & \text{при } T \geq 0, \\ \exp\left\{-(2t/\tau)^2\right\} & \text{при } T < 0, \end{cases} \quad (37)$$

$$E_2(t) = \frac{2}{\sqrt{\pi}} E_p \times \begin{cases} \exp\left\{-(2t/\tau)^2\right\} & \text{при } T \geq 0, \\ \exp\left\{-[2(t-T)/\tau]^2\right\} & \text{при } T < 0. \end{cases}$$

Чтобы получить основные характеристики сигнала, рассмотрим сначала случай ультракоротких импульсов, когда их длительность мала по сравнению с временем фазовой релаксации  $T_2$ , а также обратными величинами расстройек частот  $\Delta_i^{-1}$  ( $i = 1, 2$ ). Тогда (37) можно рассматривать как  $\delta$ -импульсы:

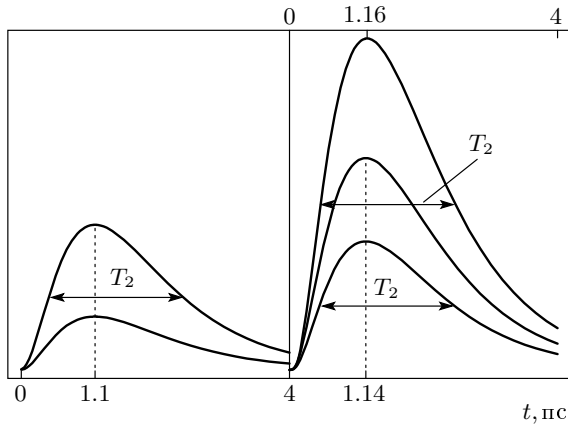
$$E_1(t) = \tau E_t \begin{cases} \delta(t+T) & \text{при } T \geq 0, \\ \delta(t) & \text{при } T < 0, \end{cases} \quad (38)$$

$$E_2(t) = \tau E_p \begin{cases} \delta(t) & \text{при } T \geq 0, \\ \delta(t-T) & \text{при } T < 0. \end{cases}$$

Подстановка (38) в (36) дает

$$P_{\tau=0}^{(3)cc}(t, T) \propto \frac{9}{16} U^{ex} E_t E_p^2 \exp[-(i\Delta + \gamma_x)t] \times \frac{1 - \exp(-2\gamma_x t)}{2i\gamma_x} \times \begin{cases} \exp[(i\Delta_1 - \gamma_x)T] & \text{при } T \geq 0, \\ \exp[2(i\Delta_2 + \gamma_x)T] & \text{при } T < 0. \end{cases} \quad (39)$$

На рис. 2, где изображен сигнал  $S^{cc}(t, T) \propto |P_{\tau=0}^{(3)cc}(t, T)|^2$ , видно поразительное отличие сигнала ЧВС ВР в полупроводниках от такого же сигнала в двухуровневых атомных системах. Последний мгновенно достигает своего пика в момент прихода импульса 2, затем быстро затухает по экспоненциальному закону [45]. Здесь сигнал полностью опаздывает по отношению к импульсам и самостоятельно существует в течение времени, длительность которого определяется только временем фазовой релаксации. В самом деле, простое вычисление показывает, что пик сигнала  $S^{cc}(t, T)$  приходится на момент  $t_0 = (\ln 3)/2\gamma_x \approx 1.1T_2/2$



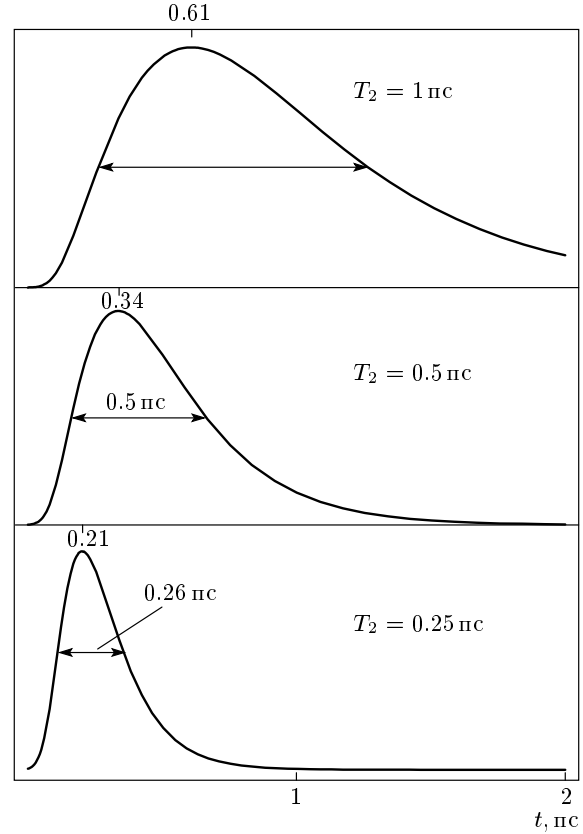
**Рис. 3.** Социркулярная поляризация. Сигналы вырожденного ЧВС ВР в образце с  $T_2 = 2$  пс при возбуждении с  $\Delta = 2.5$  мэВ и различными временами задержки. Сверху вниз:  $T = 0$  пс, 0.5 пс и 1 пс (справа) и  $T = -0.5$  пс и  $-1$  пс (слева)

( $T_2 = 1/\gamma_x$ ), а его временная полуширина равна  $[\ln 2 - \ln(2 - \sqrt{3})]/2\gamma_x \approx T_2$ .

Чтобы учитывать эффект временной эволюции импульсов, проводим численный расчет на основе (36), полагая в (37)  $\tau = 200$  фс. Вычисленные сигналы вырожденного ЧВС ( $\Delta_1 = \Delta_2 \equiv \Delta$ ) для  $T_2 = 2$  пс при различных  $T$  представлены на рис. 3. Видна некоторая зависимость положения пика сигналов от знака  $T$ : при  $T < 0$  он приходится на момент  $t_0$ , как пик сигналов от ультракоротких импульсов, а при  $T \geq 0$  — немного позже. Временная полуширина же сигналов как мера их протяженности с большой точностью остается равной  $T_2$  независимо от величины и знака  $T$ . Это подтверждается и для различных значений  $T_2$ , как видно на рис. 4. Можно заметить, что с увеличением отношения  $\tau/T_2$  положение пика сигналов приближается к  $T_2$ , в то время как их полуширина всегда примерно равна  $T_2$  в пределах когерентного режима ( $\tau/T_2 < 1$ ).

### 4.3. Перпендикулярно-линейная поляризация импульсов: проявление биэкситонных нелинейностей

Пусть  $\lambda_1 = X$ ,  $\lambda_2 = Y$ . Из уравнения (25) для  $A_{X\mathbf{k}}$  и аналогичного уравнения для  $A_{Y\mathbf{k}}$  получаем уравнение для  $A_{\lambda\mathbf{k}}^{(3)}$ . Его компонента ЧВС  $A_{2\mathbf{k}_2 - \mathbf{k}_1}^{(3)crl}$ , имеющая поляризацию зондирующего им-



**Рис. 4.** Социркулярная поляризация. Форма сигнала вырожденного ЧВС ВР при возбуждении с  $T = 0$  пс и  $\Delta = 2.5$  мэВ при различных значениях времени фазовой релаксации

пульса, удовлетворяет уравнению

$$\left\{ \frac{\partial}{\partial t} + i[E_x - i\gamma_x] \right\} A_{2\mathbf{k}_2 - \mathbf{k}_1}^{(3)crl} = \frac{2i}{\mathcal{N}\sqrt{5V}} A_{\mathbf{k}_1}^{(1)+} \times \left[ |\mathcal{E}_b| \Phi_b^* B_{b,2\mathbf{k}_2}^{(2)} - \frac{1}{(2\pi)^2} \int_0^\infty d^2 p \mathcal{E}_p \Phi_p^* B_{p,2\mathbf{k}_2}^{(2)} \right], \quad (40)$$

где уравнение для  $B_{i,2\mathbf{k}_2}^{(2)}$  ( $i = b, \mathbf{p}$ ) получается из (26), куда введен параметр биэкситонной дефазировки  $\gamma_{xx}$ :

$$\left\{ \frac{\partial}{\partial t} + i[E_{ixx} - i\gamma_{xx}] \right\} B_{i,2\mathbf{k}_2}^{(2)} = -\frac{\omega_c \mathcal{N}}{\sqrt{3V}} \Phi_i A_{\mathbf{k}_2}^{(1)} C_{\mathbf{k}_2}. \quad (41)$$

Таким образом, при перпендикулярно-линейной поляризации импульсов сигнал ЧВС, распространяющийся в направлении  $2\mathbf{k}_2 - \mathbf{k}_1$ , вызывается исключительно когерентной связью между биэкситоном, созданным накачкой, и экситоном, созданным зондирующим импульсом. ЧВС в этой конфигурации

отражает свойства экситонной системы как системы с двумя типами когерентных состояний в виде экситонов и их коррелированных состояний — биэкситонов. Представив когерентное поле  $B_{i,2\mathbf{k}_2}^{(2)}$ , связанное с биэкситонным состоянием  $i$ , в форме

$$B_{i,2\mathbf{k}_2}^{(2)} = \sqrt{V} B_i^{(2)}(t) \exp[i(2\mathbf{k}_2 \cdot \mathbf{r} - 2\omega_2 t)], \quad (42)$$

найдем решение для биэкситонной амплитуды  $B_i^{(2)}$  из (41). Подставив его вместе с (31) в решение уравнение (40), получим амплитуду сигнала ЧВС ВР:

$$\begin{aligned} P^{(3)cr1}(t, T) &= \frac{2i\omega_c^3}{\sqrt{15}} \exp[-(i\Delta + \gamma_x)t] \times \\ &\times \int_{-\infty}^t dt' \exp(-\gamma_{xx}t') \left\{ -|\mathcal{E}_b|\Phi_b^2 \exp(i|\mathcal{E}_b|t') \times \right. \\ &\times \int_{-\infty}^{t'} dt'' \exp[i(\Delta_2 - |\mathcal{E}_b|) + \gamma_{xx} - \gamma_x]t'' E_2(t'') + \\ &+ \frac{1}{(2\pi)^2} \int_0^\infty d^2 p \mathcal{E}_p |\Phi_p|^2 \exp(-i\mathcal{E}_p t') \times \\ &\times \left. \int_{-\infty}^{t'} dt'' \exp[i(\Delta_2 + \mathcal{E}_p) + \gamma_{xx} - \gamma_x]t'' E_2(t'') \right\} \times \\ &\times \int_{-\infty}^{t''} dt''' \exp[(i\Delta_2 + \gamma_x)t'''] E_2(t''') \times \\ &\times \int_{-\infty}^{t''} dz \exp[(-i\Delta_1 + \gamma_x)z] E_1(z)^*. \quad (43) \end{aligned}$$

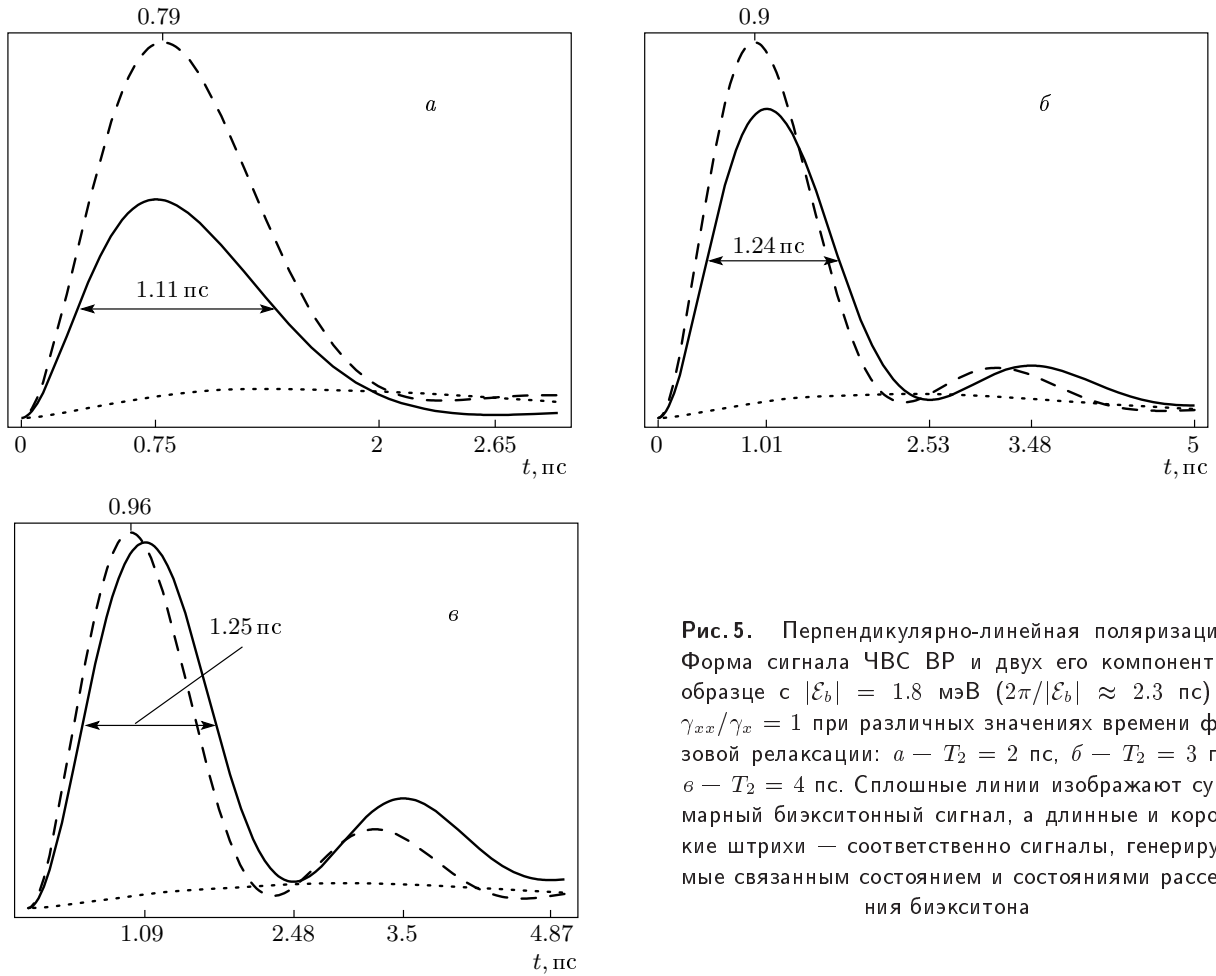
Полученное общее выражение служит исходным пунктом для дальнейшего изучения когерентного ЧВС при перпендикулярно-линейной поляризации импульсов. Оно показывает, что наряду с временем фазовой релаксации сигнал ЧВС в этой конфигурации зависит от биэкситонных параметров системы, а именно, от скорости биэкситонной дефазировки и энергии связи связанного состояния. По этой причине будем называть его биэкситонным сигналом в отличие от экситонного при циркулярной поляризации. Амплитуда биэкситонного сигнала является суперпозицией двух амплитуд,  $P_b^{(3)cr1}(t, T)$  и  $P_{sc}^{(3)cr1}(t, T)$ , представляющих вклад соответственно связанного состояния и состояний рассеяния двух экситонов в биэкситоне. Для их вычисления необходимо иметь конкретный вид биэкситонных волновых функций. Известно, что в импульсном пространстве волновые функции состояния рассеяния

имеют вид  $\Phi_p = (2\pi)^2 \delta(\mathbf{p}) + \chi_p$  [35]. При приближенном решении уравнения (18) с эффективным потенциалом Морзе находим для случая достаточного спектрального разрешения связанного состояния  $\chi_p \propto \sin(\pi/4 - b_0 p)/p^{3/2}$ . Волновая функция связанного состояния при малых импульсах является постоянной:  $\Phi_b = a_0 |\mathcal{E}_b| a_x^2$ . Здесь  $a_0$  и  $b_0$  — постоянные, определяемые вариационными параметрами. Для значения  $|\mathcal{E}_b| = 1.8$  мэВ, выбранного нами для дальнейшего численного анализа,  $a_0 \approx 12.24$ , а  $b_0 \approx 4.42$ . Условие достаточного спектрального разрешения связанного состояния в этом случае означает, что в рассматриваемых образцах  $T_2 \geq 2$  пс. При таких временах фазовой релаксации импульсы с длительностью порядка сотни фемтосекунд, использованные в экспериментальных исследованиях, с достаточной степенью точностью можно рассматривать как  $\delta$ -импульсы. Тогда амплитуды сигналов ЧВС, генерируемых соответственно связанным состоянием и состояниями рассеяния, выражаются следующим образом:

$$\begin{aligned} P_{b,\tau=0}^{(3)cr1}(t, T) &\propto \frac{|\mathcal{E}_b|\Phi_b^2}{\sqrt{15}} E_t E_p^2 \exp[-(i\Delta + \gamma_x)t] \times \\ &\times \frac{\exp[(i|\mathcal{E}_b| - \gamma_{xx})t] - 1}{|\mathcal{E}_b| + i\gamma_{xx}} \times \\ &\times \begin{cases} \exp[(i\Delta_1 - \gamma_x)T] & \text{при } T \geq 0, \\ \exp\{[i(2\Delta_2 - |\mathcal{E}_b|) + \gamma_{xx}]T\} & \text{при } T < 0, \end{cases} \quad (44) \end{aligned}$$

$$\begin{aligned} P_{sc,\tau=0}^{(3)cr1}(t, T \geq 0) &\propto \frac{1}{\sqrt{15}} E_t E_p^2 \times \\ &\times \exp[(i\Delta_1 - \gamma_x)T] \exp[-(i\Delta + \gamma_x)t] \times \\ &\times \frac{1}{2\mu_x} \int_0^\infty d\varepsilon \frac{\exp[-(i\varepsilon + \gamma_{xx})t] - 1}{(\varepsilon - i\gamma_{xx})^2} \times \\ &\times \sin^2\left(\frac{\pi}{4} - b_0 \sqrt{\varepsilon - i\gamma_{xx}}\right), \quad (45) \end{aligned}$$

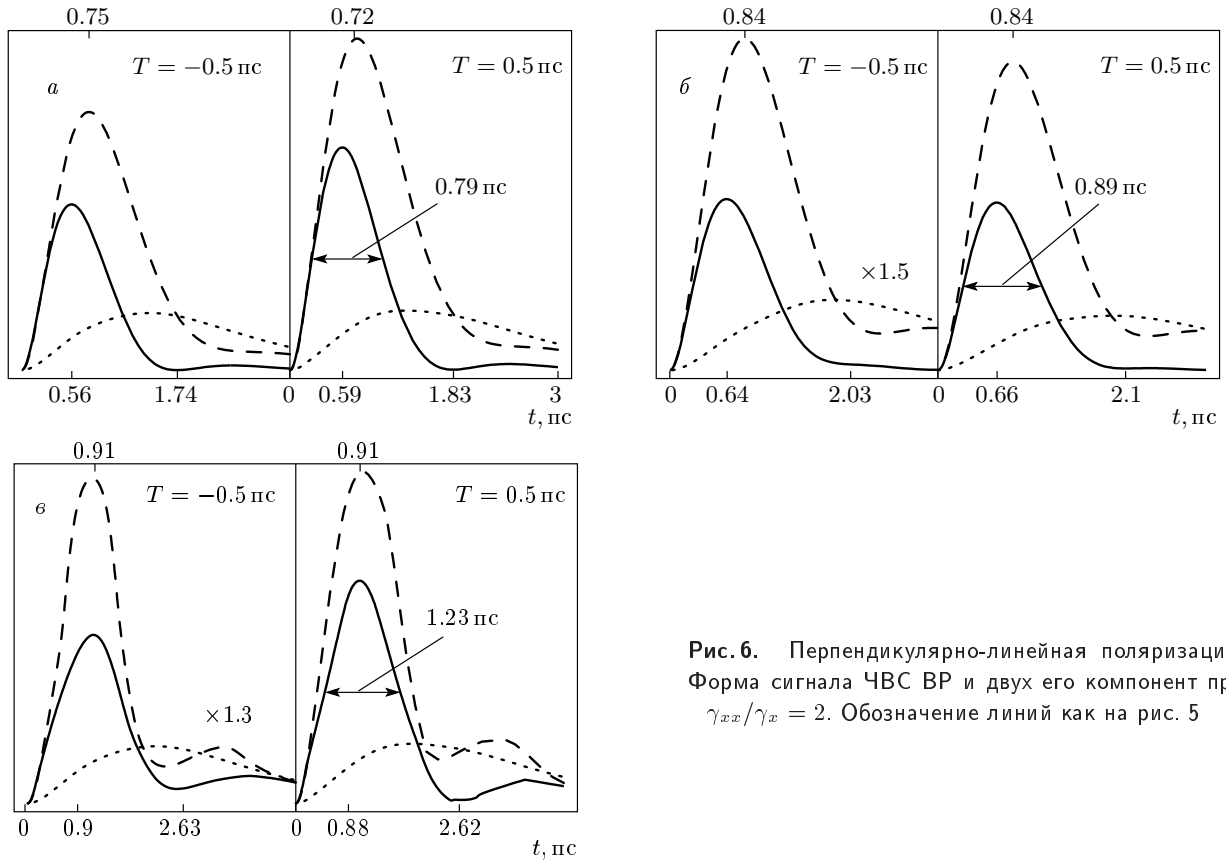
$$\begin{aligned} P_{sc,\tau=0}^{(3)cr1}(t, T < 0) &\propto \frac{1}{\sqrt{15}} E_t E_p^2 \exp[(2i\Delta_2 + \gamma_{xx})T] \times \\ &\times \exp[-(i\Delta + \gamma_x)t] \times \\ &\times \frac{1}{2\mu_x} \int_0^\infty d\varepsilon \exp(i\varepsilon T) \frac{\exp[-(i\varepsilon + \gamma_{xx})t] - 1}{(\varepsilon - i\gamma_{xx})^2} \times \\ &\times \sin^2\left(\frac{\pi}{4} - b_0 \sqrt{\varepsilon - i\gamma_{xx}}\right). \quad (46) \end{aligned}$$



**Рис. 5.** Перпендикулярно-линейная поляризация. Форма сигнала ЧВС ВР и двух его компонент в образце с  $|\mathcal{E}_b| = 1.8$  мэВ ( $2\pi/|\mathcal{E}_b| \approx 2.3$  пс) и  $\gamma_{xx}/\gamma_x = 1$  при различных значениях времени фазовой релаксации: *a* —  $T_2 = 2$  пс, *б* —  $T_2 = 3$  пс, *в* —  $T_2 = 4$  пс. Сплошные линии изображают суммарный биэкситонный сигнал, а длинные и короткие штрихи — соответственно сигналы, генерируемые связанным состоянием и состояниями рассеяния биэкситона

Как следует из (44), сигнал  $S_b^{crl}(t, T) \propto |P_{b, \tau=0}^{(3)crl}(t, T)|^2$  является периодической функцией времени в форме осцилляций с убывающей амплитудой. Это квантовые биения, или нутации, свойственные системе с близко расположенными по энергии состояниями, одновременно возбуждающимися под действием излучения. В данном случае биения связаны с периодической взаимной конверсией экситонного и связанного биэкситонного состояний, генерируемых импульсом накачки. При хорошем спектральном разрешении связанного биэкситонного состояния ( $|\mathcal{E}_b|/(\gamma_x + \gamma_{xx}) \gg 1$ ) период осцилляций можно рассматривать как постоянную величину, равную  $2\pi/|\mathcal{E}_b|$ . В общем же случае он меньше  $2\pi/|\mathcal{E}_b|$  и уменьшается со временем. На рис. 5 видно, что при разных значениях  $T_2$  структура этого сигнала  $S_b^{crl}(t, T)$  (длинные штрихи) зависит от соотношения между  $T_2$  и  $2\pi/|\mathcal{E}_b|$ : при  $T_2$  меньше или порядка  $2\pi/|\mathcal{E}_b|$  сигнал фактически

состоит из одной осцилляции. При  $T_2$  больше  $2\pi/|\mathcal{E}_b|$  он состоит из нескольких осцилляций с убывающей глубиной. Абсолютная протяженность первой, главной осцилляции сигнала немного меньше  $2\pi/|\mathcal{E}_b|$ , а ее полуширина меньше  $\pi/|\mathcal{E}_b|$ . Что касается сигнала  $S_{sc}^{crl}(t, T) \propto |P_{sc, \tau=0}^{(3)crl}(t, T)|^2$ , численный расчет на основе (45), (46) показывает, что вклад в него вносят только состояния с энергией корреляции  $\mathcal{E}_p$ , расположенные относительно близко к уровню связанного состояния. Для рассматриваемого значения  $|\mathcal{E}_b| = 1.8$  мэВ только состояния с  $\mathcal{E}_p < 5$  мэВ дают вклад. Короткие штрихи на рис. 5 показывают, что в отличие от  $S_b^{crl}(t, T)$  сигнал  $S_{sc}^{crl}(t, T)$  бесструктурен и по форме напоминает экситонный сигнал. Его роль в ЧВС зависит от отношений  $\gamma_{xx}/\gamma_x$  и  $|\mathcal{E}_b|/\gamma_x$ , определяющих относительную скорость биэкситонной дефазировки по отношению к экситонной и спектральное разрешение связанного состояния. При  $\gamma_{xx}/\gamma_x = 1$  средняя



**Рис. 6.** Перпендикулярно-линейная поляризация. Форма сигнала ЧВС ВР и двух его компонент при  $\gamma_{xx}/\gamma_x = 2$ . Обозначение линий как на рис. 5

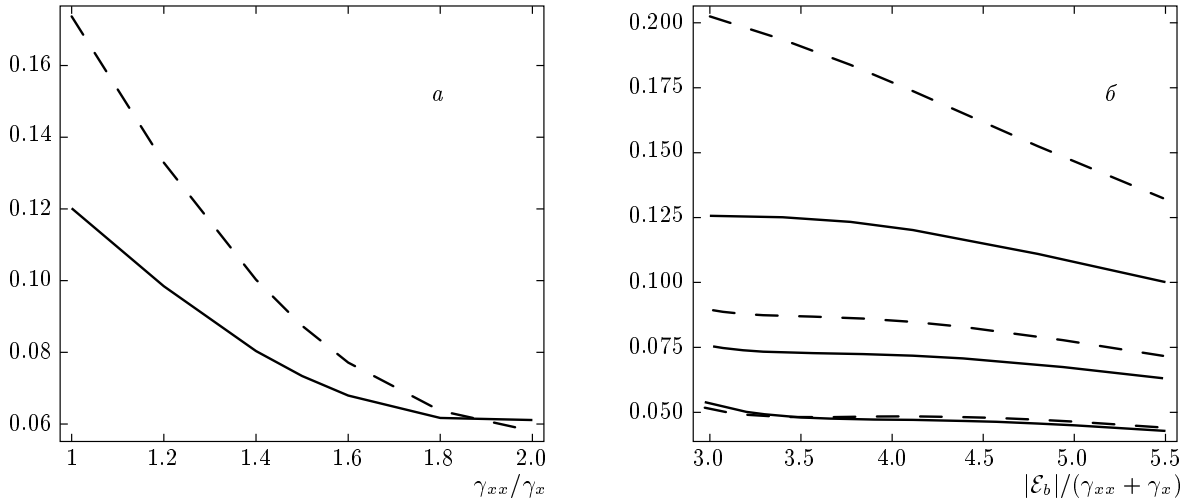
интенсивность  $S_{sc}^{crl}(t, T)$  на один-полтора порядка меньше интенсивности  $S_b^{crl}$  в его максимуме. Следовательно, в этом случае суммарный сигнал  $S^{crl}(t, T) \propto |P_{b,\tau=0}^{(3)crl}(t, T) + P_{sc,\tau=0}^{(3)crl}(t, T)|^2$  можно рассматривать как сигнал  $S_b^{crl}(t, T)$ , видоизмененный из-за влияния непрерывного спектра. Это влияние приводит к уменьшению интенсивности в первой, главной осцилляции сигнала, а также к увеличению его протяженности благодаря уширению первой и усилению второй осцилляций. Влияние непрерывного спектра уменьшается с увеличением его спектрального отделения от связанного состояния. Как видно на рис. 5в, при  $|\mathcal{E}_b|/\gamma_x \gg 1$  отличие сигнала  $S_{TR}^{crl}(t, T)$  от его составляющей  $S_b^{crl}(t, T)$  заключается только в некотором смещении во времени и увеличении интенсивности в его конечной части. По форме и интенсивности главной осцилляции  $S_{TR}^{crl}(t, T)$  почти не отличается от  $S_b^{crl}(t, T)$ .

С увеличением относительной скорости биэкситонной дефазировки интенсивность  $S_{sc}^{crl}(t, T)$  мало изменяется, а интенсивность  $S_b^{crl}(t, T)$  убывает. В итоге относительный вклад состояний рассеяния в ЧВС увеличивается. На рис. 6 видно, что при

$\gamma_{xx}/\gamma_x = 2$  суммарный сигнал сильно отличается от  $S_b^{crl}(t, T)$ , особенно по форме. Сильное влияние состояний рассеяния делает сигнал ЧВС скоротечным, его характерные черты в виде квантовых биений исчезают. Временная полуширина сигнала в этом случае составляет всего какую-то долю времени фазовой релаксации.

Как явствует из (44)–(46), зависимость биэкситонного сигнала от времени задержки  $T$  при  $T > 0$  определяется экситонной скоростью дефазировки, а при  $T < 0$  — биэкситонной. Это связано с разной природой сигнала при разных знаках  $T$ . Действительно, при  $T > 0$  биэкситонный сигнал представляет собой меру количества когерентности, которое экситон от зондирующего импульса несет в себе в момент прихода накачки. При  $T < 0$  биэкситонный сигнал отражает истинную биэкситонную когерентность — ту, которая содержится в биэкситоне, созданном накачкой, в момент прихода зондирующего импульса. В результате разница в интенсивности биэкситонного сигнала при равных по величине, но противоположных по знаку  $T$ , зависит от  $\gamma_{xx}/\gamma_x$ . Как показывает рис. 6, при  $\gamma_{xx}/\gamma_x = 2$  она зави-





**Рис. 7.** Относительная интенсивность сигналов ЧВС ВР при перпендикулярно-линейной и социркулярной поляризации в образце с  $Ry = 10$  мэВ и  $|E_b| = 1.8$  мэВ как функция  $\gamma_{xx}/\gamma_x$  при  $T_2 = 3$  пс (а) и  $|E_b|/(\gamma_{xx} + \gamma_x)$  при разных значениях  $\gamma_{xx}/\gamma_x$  (б). Сверху вниз:  $\gamma_{xx}/\gamma_x = 1, 1.5$  и  $2$ . Сплошные линии представляют случай  $T \geq 0$ , а штриховые —  $T = -0.5$  пс

сит также от  $|E_b|/\gamma_x$ . Это объясняется тем, что в этом случае вклад состояний рассеяния, зависящий от  $|E_b|/\gamma_x$ , играет большую роль.

Естественно, параметры образца  $\gamma_{xx}/\gamma_x$  и  $|E_b|/\gamma_x$ , определяющие поведение биэкситонного сигнала, определяют также относительную интенсивность  $S^{crl}(t, T)$  при его максимуме по отношению к максимальному значению экситонного сигнала  $S^{cc}(t, T)$ . Рисунок 7 показывает эту относительную интенсивность как функцию  $\gamma_{xx}/\gamma_x$  при заданном  $|E_b|/\gamma_x$  и как функцию  $|E_b|/(\gamma_x + \gamma_{xx})$  при определенных  $\gamma_{xx}/\gamma_x$ . Относительная интенсивность увеличивается, как следовало ожидать, с уменьшением скорости дефазировки биэкситона. Из (39), (44)–(46) видно, что при  $T \geq 0$  она не зависит от величины времени задержки. Ее величина, как показывают сплошные линии, колеблется в пределах от сотых до десятой доли единицы. При  $T < 0$  относительная интенсивность зависит от  $T$  приблизительно как  $\exp[(\gamma_{xx} - 2\gamma_x)T]$ . Следовательно, для  $\gamma_{xx}/\gamma_x < 2$  ее значения при любом  $T < 0$  больше, чем при  $T \geq 0$ . Для  $\gamma_{xx}/\gamma_x = 2$  некоторая зависимость относительной интенсивности от  $T$  при  $T < 0$  все еще существует, потому что кроме экспоненциального множителя, интеграл в правой части (46) также зависит от  $T$ . Видно, что эта зависимость крайне слаба.

#### 4.4. Параллельно-линейная поляризация импульсов: комбинированные экситонные и биэкситонные нелинейности

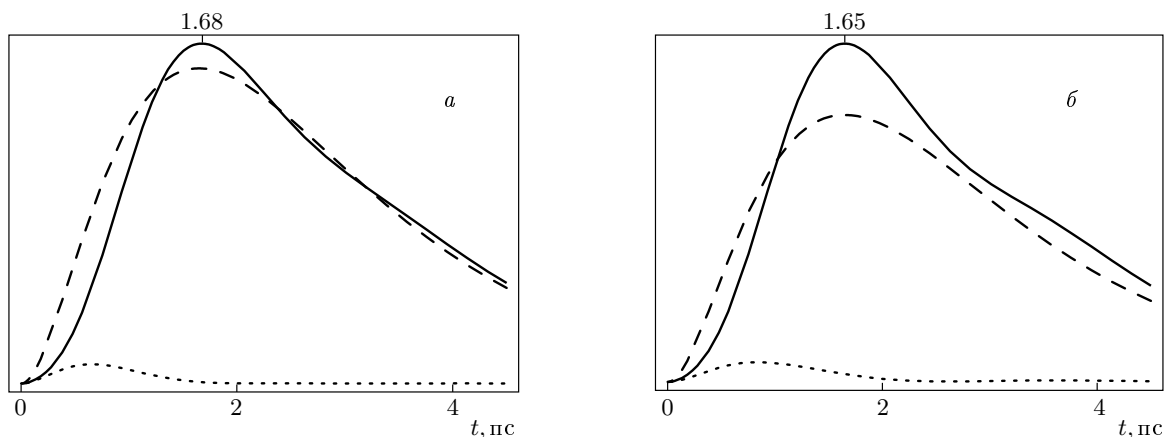
Пусть  $\lambda_1 = \lambda_2 = X$ . Из формулы (25) получаем уравнение для  $A_{2\mathbf{k}_2 - \mathbf{k}_1}^{(3)col}$  в виде

$$\left\{ \frac{\partial}{\partial t} + i[E_x - i\gamma_x] \right\} A_{2\mathbf{k}_2 - \mathbf{k}_1}^{(3)col} = -i \frac{9U^{ex}}{16V} \left( A_{\mathbf{k}_2}^{(1)} \right)^2 A_{\mathbf{k}_1}^{(1)+} + \frac{2i}{N\sqrt{5V}} A_{\mathbf{k}_1}^{(1)+} \left[ |E_b| \Phi_b B_{b,2\mathbf{k}_2}^{(2)} - \frac{1}{(2\pi)^2} \int_0^\infty d^2 p \varepsilon_p \Phi_p^* B_{p,2\mathbf{k}_2}^{(2)} \right]. \quad (47)$$

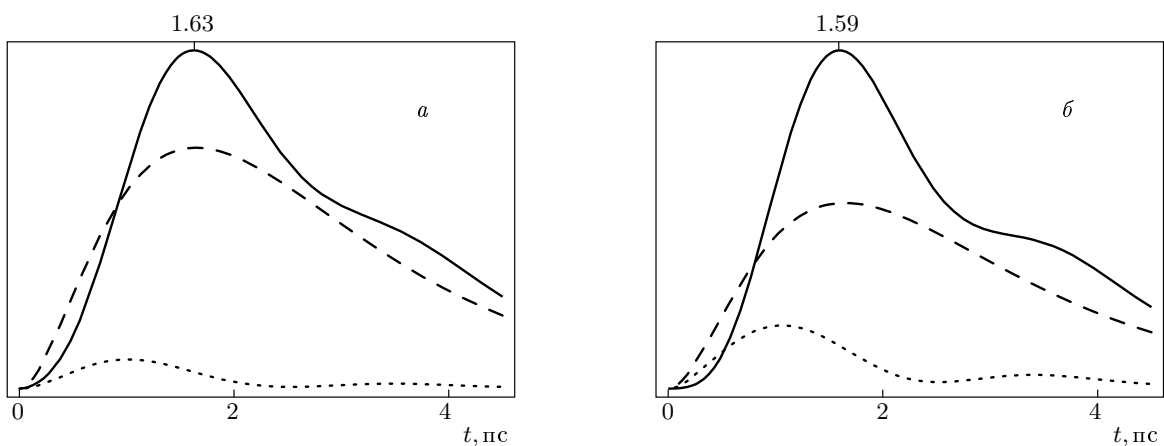
Таким образом, в ЧВС при параллельно-линейной конфигурации проявляются как экситонные, так и биэкситонные нелинейности. Сравнение (47) с (40) и (34) показывает, что амплитуда сигнала при параллельно-линейной поляризации представляет собой сумму амплитуд экситонного и биэкситонного сигналов:

$$P^{(3)col}(t, T) = P^{(3)cc}(t, T) + P^{(3)crl}(t, T). \quad (48)$$

Мы видели на рис. 7, что при относительно быстрой дефазировке биэкситона максимальная интенсивность биэкситонного сигнала при  $T \geq 0$  самое боль-



**Рис. 8.** Сигнал ЧВС ВР при параллельно-линейной поляризации (сплошные линии) и его экситонная (длинные штрихи) и биэкситонная (короткие штрихи) компоненты в образце с  $Ry = 10$  мэВ,  $|\mathcal{E}_b| = 1.8$  мэВ,  $T_2 = 3$  пс при  $\gamma_{xx}/\gamma_x = 2$  (а) и  $\gamma_{xx}/\gamma_x = 1.5$  (б);  $T \geq 0$



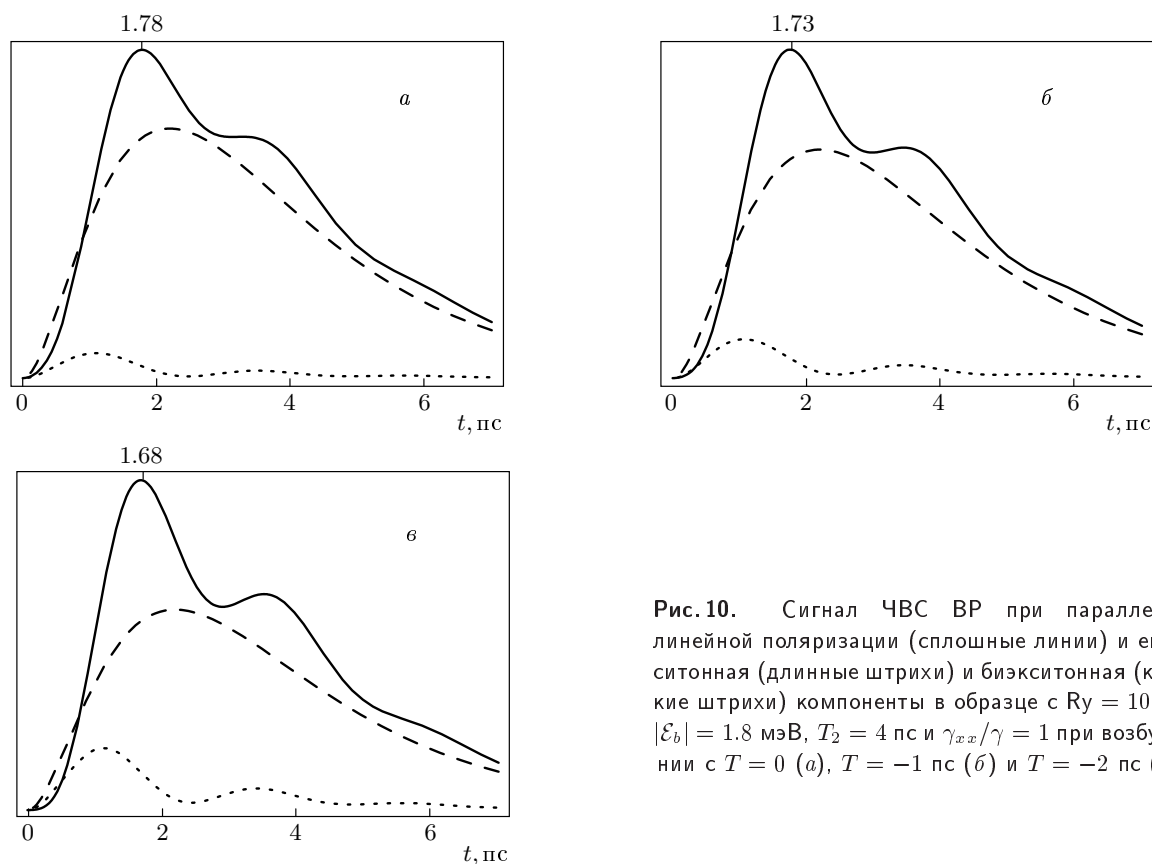
**Рис. 9.** То же самое, что на рис. 8, при  $\gamma_{xx}/\gamma_x = 1$  и  $T = 0$  (а) и  $T = -1.5$  пс (б)

шее на порядок меньше средней интенсивности экситонного. Поэтому сигнал при параллельно-линейной поляризации в этом случае определяется главным образом экситонным сигналом. Это хорошо видно на рис. 8, на котором представлен сигнал ЧВС от ультракоротких импульсов  $S^{col}(t, T) \propto |P_{\tau=0}^{(3)col}(t, T)|^2$  вместе с двумя его компонентами для двух значений  $\gamma_{xx}/\gamma_x > 1$ . Биэкситонный сигнал со своей характерной структурой может оставить какой-то след в форме сигнала  $S^{col}(t, T)$  только при  $\gamma_{xx}/\gamma_x \approx 1$  и лучше при  $T < 0$ , когда относительная интенсивность биэкситонной компоненты по отношению к интенсивности экситонной больше (рис. 9б). Особенно биэкситонные черты в виде модуляций хорошо видны при относительно больших  $T_2$ , при этом по мере увели-

чения значения отрицательного времени задержки они становятся более четкими (рис. 10б, в). Следует отметить, что это происходит за счет уменьшения интенсивности экситонного сигнала, поэтому интенсивность  $S^{col}(t, T)$  при этом убывает.

### 5. ВЫВОДЫ

В поле квазирезонансного лазерного излучения в прямозонном полупроводнике с дипольно-разрешенными переходами создается система электрон-дырочных пар, многочастичные корреляции в которой определяют нелинейно-оптический отклик полупроводника. В данной работе предложено



**Рис. 10.** Сигнал ЧВС ВР при параллельно-линейной поляризации (сплошные линии) и его экситонная (длинные штрихи) и биэкситонная (короткие штрихи) компоненты в образце с  $Ry = 10$  мэВ,  $|\mathcal{E}_b| = 1.8$  мэВ,  $T_2 = 4$  пс и  $\gamma_{xx}/\gamma = 1$  при возбуждении с  $T = 0$  (а),  $T = -1$  пс (б) и  $T = -2$  пс (в)

описывать эти корреляции в рамках экситон-бозонного формализма. Состояние полупроводника в нелинейном режиме представляется в виде разложения по полной системе экситонных состояний как его квазибозонных квазисобственных состояний в линейном режиме. Разложение осуществляется через преобразование бозонизации электрон-дырочного гамильтониана, которое впервые осуществлено со строгим учетом зависимости состояний квазичастиц от ориентаций их угловых моментов. Разработка экситонного гамильтониана в слабонелинейном режиме проиллюстрирована на примере системы экситонов ТД в широко исследуемых квантовых ямах GaAs. Показано, что кулоновские двухэкситонные корреляции включают в себя две компоненты: эффективное отталкивание между экситонами с отличным от нуля значением суммарного спина и эффективное притяжение между экситонами с нулевым суммарным спином. При пренебрежении спинами экситонов или использовании ПХФ пропадает последняя, спин-меняющая компонента, ответственная за существование биэкситона и биэкситонные нелинейности.

Выведены гейзенберговские уравнения движения, описывающие динамику экситон-биэкситонной системы в когерентном режиме. Из уравнения для экситонных операторов, в частности, следует, что биэкситонные нелинейности обуславливаются связью с экситоном всех биэкситонных состояний, как связанных, так и состояний рассеяния. Таким образом, проведенный в работе явный теоретико-групповой расчет подтверждает утверждение авторов работы [41] о несостоятельности феноменологической биэкситонной теории. В ней экситон и биэкситон рассматриваются как независимые бозоны, а биэкситонные нелинейности считаются обусловленными связью основного связанного биэкситонного состояния с полем излучения.

Возможности предложенного общего подхода продемонстрированы при описании поляризационной зависимости когерентного ЧВС в квантовых ямах GaAs. Благодаря тому что двухэкситонные корреляции описываются с должным учетом и спина, и волнового вектора экситонов и фотонов, механизм ЧВС в каждой поляризационной конфигурации очевиден из уравнения движения

для индуцированного когерентного экситонного поля. Поскольку при социркулярной поляризации импульсов отсутствует биэкситон, этим механизмом является межэкситонное отталкивание. При перпендикулярно-линейной поляризации им является экситон-биэкситонная связь, так как правило отбора по волновым векторам ЧВС исключает компоненту межэкситонного отталкивания. Только при параллельно-линейной поляризации обе компоненты кулоновских корреляций совместно генерируют ЧВС. Таким образом, поляризационная зависимость когерентного ЧВС происходит оттого, что две компоненты двухэкситонных корреляций могут проявляться в отдельности или вместе в различных поляризационных конфигурациях.

Получены общие выражения для амплитуды сигналов ЧВС ВР в трех упомянутых поляризационных конфигурациях. Они служат основой для детального изучения когерентного ЧВС в разных образцах при различных экспериментальных условиях. Проведен анализ характеристик сигнала ЧВС в каждой поляризационной конфигурации с помощью аналитических функций, полученных в пределе ультракоротких импульсов. Выяснено, что форма сигнала ЧВС ВР в социркулярной конфигурации определяется исключительно временем фазовой релаксации экситонной системы: полуширина сигнала равна  $T_2$ , а временное отделение пика сигнала от его начала равно  $t_0 \approx 0.55T_2$ . Дополнительным численным расчетом с учетом конечной длительности импульсов  $\tau$  выявлено, что при  $T \geq 0$  положение пика сигнала сдвигается в сторону  $T_2$  при увеличении отношения  $\tau/T_2$ . В перпендикулярно-линейной конфигурации сигнал ЧВС ВР зависит от  $T_2$  только через параметры  $\gamma_{xx}/\gamma_x$  и  $|\mathcal{E}_b|/\gamma_x$ , определяющие относительную скорость биэкситонной дефазировки и спектральное разрешение связанного состояния. Биэкситонный сигнал является суперпозицией двух сигналов, представляющих соответственно вклады связанного состояния и состояний рассеяния двух экситонов в биэкситоне. При равных скоростях биэкситонной и экситонной дефазировки и хорошем спектральном разрешении связанного состояния вклад состояний рассеяния сравнительно мал. В таком случае биэкситонный сигнал представляет собой осцилляции с убывающей амплитудой, период которых определяется главным образом величиной энергии связи связанного состояния. В частности, протяженность главной осцилляции сигнала приблизительно равна  $2\pi/|\mathcal{E}_b|$ , а временное разделение между началом сигнала и положением его максимума —  $\pi/|\mathcal{E}_b|$ . Относительная интенсивность биэкситонного сигнала

по сравнению с экситонным также зависит от  $\gamma_{xx}/\gamma_x$  и  $|\mathcal{E}_b|/\gamma_x$ , а при  $T < 0$  еще от  $T$ . Ее наибольшее значение, которое достигается при  $\gamma_{xx}/\gamma_x = 1$ , при  $T \geq 0$  составляет приблизительно 0.1. Поскольку сигнал ЧВС при параллельно-линейной поляризации является суперпозицией экситонного и биэкситонного сигналов, при  $T \geq 0$  и  $\gamma_{xx}/\gamma_x > 1$  он определяется в основном экситонным сигналом. Что касается биэкситонных характерных черт в форме осцилляций, на фоне экситонного сигнала они могут проявляться только в образцах с  $T_2 > 2\pi/|\mathcal{E}_b|$  и медленной биэкситонной дефазировкой, и лучше при возбуждении с отрицательным временем задержки.

Для прозрачности изложения при разработке экситонного гамильтониана в разд. 3 и применении выведенных там гейзенберговских уравнений движения к изучению когерентного ЧВС в разд. 4 мы ограничились экситонами ТД основного состояния. Это оказалось достаточным для получения качественной картины поляризационной зависимости ЧВС. На практике, однако, спектральная ширина субпикосекундных импульсов не мала, и неизбежным следствием этого является появление экситонов ЛД. Их включение в рассмотрение необходимо для количественного объяснения экспериментальных наблюдений. С помощью общих формул, полученных в разд. 2, и элементарных положений теории групп, это не представляет проблемы в принципе.

Автор выражает благодарность В. С. Лебедеву за ряд замечаний и рекомендаций, а также В. А. Зубову и А. Д. Кудрявцевой за постоянный интерес к работе и поддержку. Работа выполнена при частичной финансовой поддержке РФФИ (грант № 02-02-16482) и в рамках программы «Фундаментальная спектроскопия» ФЦНТП Минпромнауки.

## ЛИТЕРАТУРА

1. M. Wegener, D. S. Chemla, S. Schmitt-Rink, and W. Schäfer, *Phys. Rev. A* **42**, 5675 (1990).
2. M. Lindberg and S. W. Koch, *Phys. Rev. B* **38**, 3342 (1988).
3. J. Shah, *Ultrafast Spectroscopy of Semiconductors and Semiconductor Nanostructures*, Springer, Heidelberg (1999).
4. R. Eccleston, J. Kuhn, Bennhard, and P. Thomas, *Sol. St. Comm.* **86**, 93 (1993).
5. H. Wang, K. B. Ferrio, D. G. Steel et al., *Phys. Rev. Lett.* **71**, 1261 (1993).

6. Y. Z. Hu, R. Binder, S. W. Koch et al., Phys. Rev. B **49**, 14382 (1994).
7. T. Saiki, M. Kuwata-Gonokami, T. Matsusue, and H. Sakaki, Phys. Rev. B **49**, 7817 (1994).
8. D. J. Lovering, R. T. Phillips, G. J. Denton, and G. W. Smith, Phys. Rev. Lett. **68**, 1880 (1992).
9. E. J. Mayer, G. O. Smith, V. Heuckeroth et al., Phys. Rev. B **50**, 14730 (1994).
10. H. P. Wagner, A. Schätz, W. Langbein et al., Phys. Rev. B **60**, 4454 (1999).
11. J. Ishi, H. Kunugita, K. Ema et al., Phys. Rev. B **63**, 073303 (2001).
12. Y. Z. Hu, R. Binder, and S. W. Koch, Phys. Rev. B **47**, 15679 (1993).
13. V. M. Axt and A. Stahl, Z. Phys. B **93**, 175 (1994).
14. M. Linberg, Y. Z. Hu, R. Binder, and S. W. Koch, Phys. Rev. B **50**, 18060 (1994).
15. W. Schäfer, D. S. Kim, J. Shah et al., Phys. Rev. B **53**, 16429 (1996).
16. Th. Östreich, K. Schönhammer, and L. J. Sham, Phys. Rev. B **58**, 12920 (1998).
17. Л. В. Келдыш, А. Н. Козлов, ЖЭТФ **54**, 978 (1968).
18. E. Hanamura, J. Phys. Soc. Jpn. **37**, 1545 (1974).
19. T. Usui, Progr. Theor. Phys. **23**, 787 (1960).
20. M. I. Sheboul and W. Ekardt, Phys. Stat. Sol. B **73**, 165 (1976).
21. H. Stolz, R. Zimmermann and G. Ropke, Phys. Stat. Sol. B **105**, 585 (1981).
22. T. Hiroshima, Phys. Rev. B **40**, 3862 (1989).
23. G. Rochat, C. Ciuti, V. Savona et al., Phys. Rev. B **61**, 13856 (2000).
24. A. R. Edmonds, *Angular Momentum in Quantum Mechanics*, Princeton University Press, Princeton (1957).
25. H. Haug and S. W. Koch, *Quantum Theory of the Optical and Electronic Properties of Semiconductors*, World Scientific, Singapore (1993).
26. Л. В. Келдыш, О. В. Константинов, В. И. Перель, ФТП **3**, 1042 (1969).
27. Б. П. Захарченя, Д. Н. Мирлин, В. И. Перель, И. С. Решина, УФН **136**, 459 (1982).
28. Г. Л. Бир, Г. Е. Пикус, *Симметрия и деформационные эффекты в полупроводниках*, Наука, Москва (1972).
29. M. Shinada and S. Sugano, J. Phys. Soc. Jpn. **21**, 66 (1966).
30. М. Хамермеш, *Теория групп*, УРСС, Москва (2002), с. 442.
31. J. R. Kuklinski and S. Mukamel, Phys. Rev. B **42**, 2959 (1990).
32. D. S. Kim, J. Shah, T. S. Damen et al., Phys. Rev. B **50**, 15086 (1994).
33. Hoang Ngoc Cam, J. Phys. Soc. Jpn. **74**, 1049 (2005).
34. Hoang Ngoc Cam, Phys. Rev. B **55**, 10487 (1997).
35. Л. Д. Ландау, Е. М. Лифшиц, *Квантовая механика*, Наука, Москва (1974), разд. 45, гл. XVII.
36. Л. В. Келдыш, в *Проблемы теоретической физики*, Наука, Москва (1972), с. 433.
37. В. Ф. Елесин, Ю. В. Копаев, ЖЭТФ **63**, 1447 (1972).
38. С. А. Москаленко, М. Ф. Миглей, М. И. Шмиглюк и др., ЖЭТФ **64**, 1768 (1973).
39. D. Hulin and M. Joffre, Phys. Rev. Lett. **65**, 3425 (1990).
40. П. И. Хаджи, С. А. Москаленко, С. Н. Белкин, Письма в ЖЭТФ **29**, 223 (1979).
41. А. Л. Иванов, Л. В. Келдыш, В. В. Панащенко, ЖЭТФ **99**, 641 (1991).
42. A. I. Bobrysheva, V. T. Zyukov, and S. A. Moskalenko, Phys. Stat. Sol. B **105**, K45 (1981).
43. G. F. Koster, J. O. Dimmock, R. G. Wheeler, and H. Statz, *Properties of the Thirty-two Point Groups*, MIT, Cambridge (1963).
44. A. Bonnot, R. Planel, and C. Benoit a La Guillaume, Phys. Rev. B **9**, 690 (1974).
45. T. Yajima and Y. Taira, J. Phys. Soc. Jpn. **47**, 1620 (1979).